低温科学A

理学研究科 物理学第一教室 石田 憲二 (内線:3752) kishida@scphys.kyoto-u.ac.jp

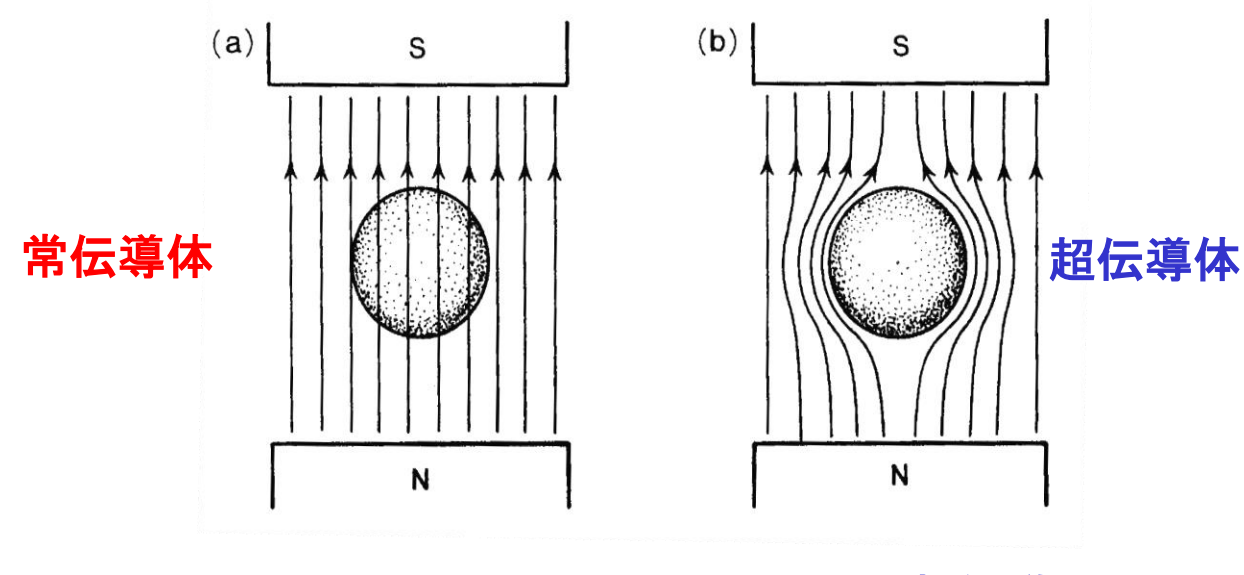
最近の超伝導研究

- 1. 超伝導の復習 (現象と理論的解釈)
- 2. 奇妙な超伝導(非従来型超伝導)の発見
- 3. 非従来型超伝導の特徴
- 4. 最近の超伝導発見 (トピックス)
- 5. 超伝導の応用
- 6. DVD (超伝導を研究している海外の大学の研究室)

1. 超伝導の復習

超伝導の特徴

- 1. 電気抵抗 ho がゼロ 超伝導転移温度 $T_{
 m c}$
- 2. 超伝導内部の磁束密度 B がゼロ (マイスナー効果)



超伝導体

磁石

T>T_c: 常伝導

T < T_c: 超伝導

超伝導は磁束を排除する性質をもつ

 $B = H + 4\pi M = 0 \rightarrow M = -(1/4\pi)H$ (完全反磁性)

超伝導の動画

https://www.youtube.com/watch?v=LZBW3RAHFqs

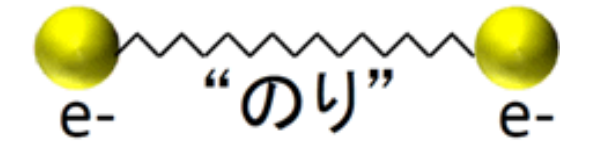
https://www.youtube.com/watch?v=ZBq8hxPFGP4

超伝導状態のイメージ

フェルミオンである電子は、結晶中のフォノン(``のり")を介して対状態(ボゾン)を形成する。

⇒ 電子対(クーパー対)の形成

電子対

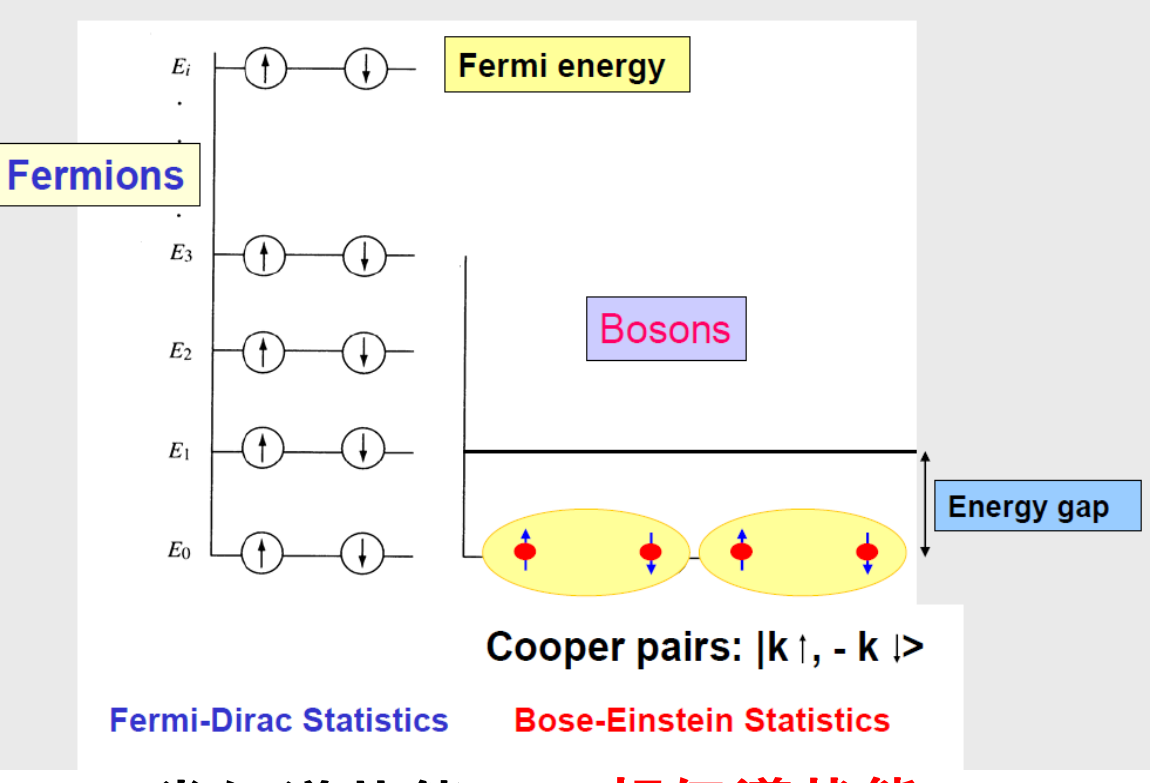


クーパー対は位相のそろった波として結晶中を伝播する。

⇒ 量子状態 電気抵抗ゼロ

超伝導(BCS理論)の概念

Bardeen, Cooper, Schrieffer 1957年



常伝導状態

電子は基底状態からフェルミ統計に従い状態を占めていく

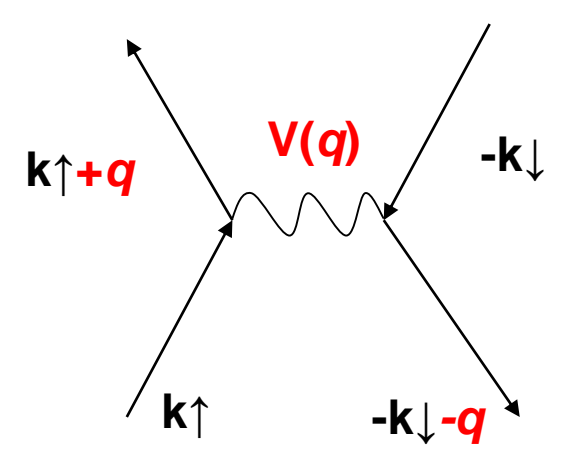
超伝導状態

k↑と-k↓がボーズ粒 子と見なせる対を組み 基底状態に落ち込む

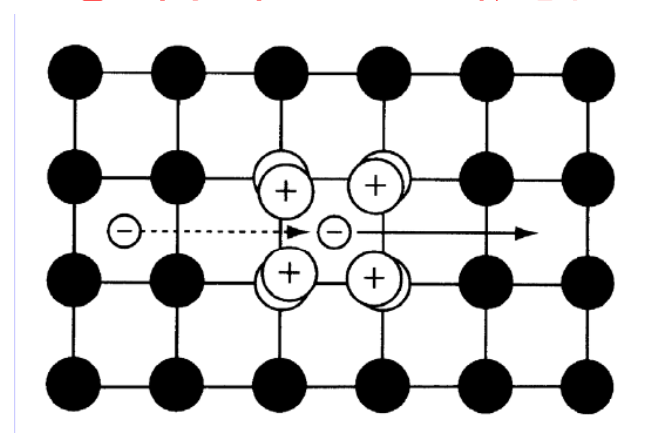
Key Exp.) 同位体効果の実験 ('50)

E. Maxwell & C. Reynolds et al.

2電子 | k ↑, -k ↓ 〉間 の引力



2電子間に働く引力の概念図



量子化された格子振動(フォノン)

BCS理論の成功

・超伝導転移温度 T_{c} の表式 $k_{\mathrm{B}}T_{c}=1.14\hbar\omega\exp\left[-\frac{1}{N(E_{\mathrm{E}})V}\right]$

 ω : フォノンの周波数 $N(E_F)$: フェルミエネルギーでの状態密度

V: 電子間の引力相互作用

同位体効果の実験結果: T_cM^{1/2} = 一定

M: 同位体の質量 $\omega \propto M^{-1/2}$

・超伝導ギャップ

k空間に対して等方的なギャップ

超伝導状態での物理量は 指数関数的な振る舞い

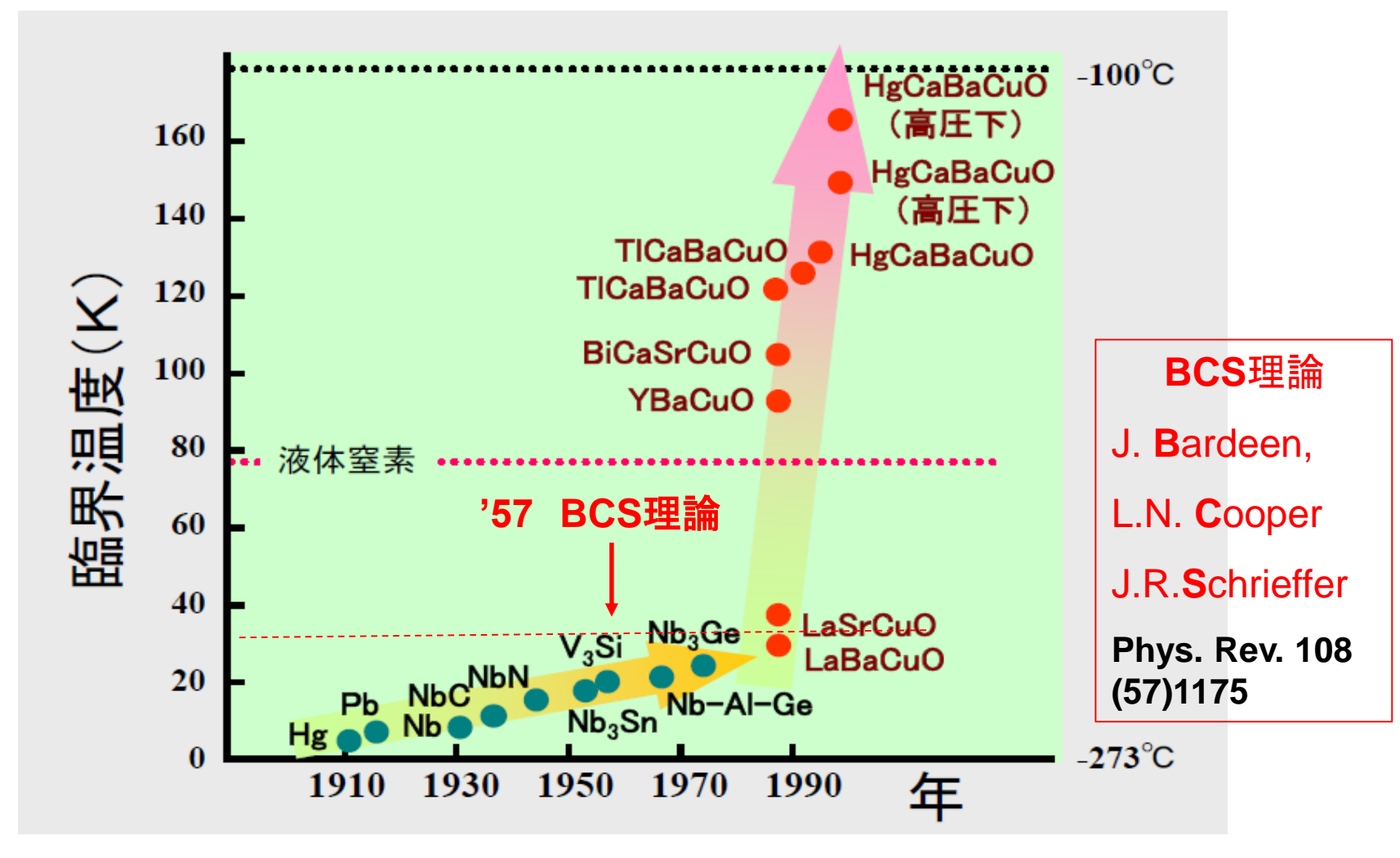
T = 0での大きさ: $2 \triangle (0) / k_B T_c = 3.5$

温度依存性 : $\Delta(T) \sim \Delta(0) [1 - (T/T_c)]^{1/2} (T \sim T_c)$

それまで報告のあったほぼすべての実験結果の説明に成功!!

「超伝導転移温度は30Kを超えない!?」 Nb₃Ge: T_c ~ 23.4 K

ところが...



1911年 Hgの超伝導発見 1957年 BCS 理論 1972年 ³Heの超流動

1979年 CeCu₂Si₂の超伝導 **1986年 銅酸化物高温超伝導** ...

赤: ノーベル賞受賞

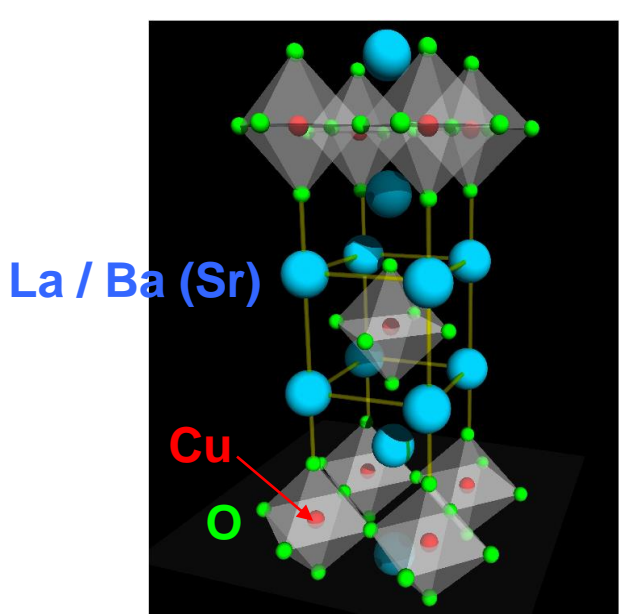
2. Break Through (非従来型超伝導の発見)

銅酸化物高温超伝導体の出現

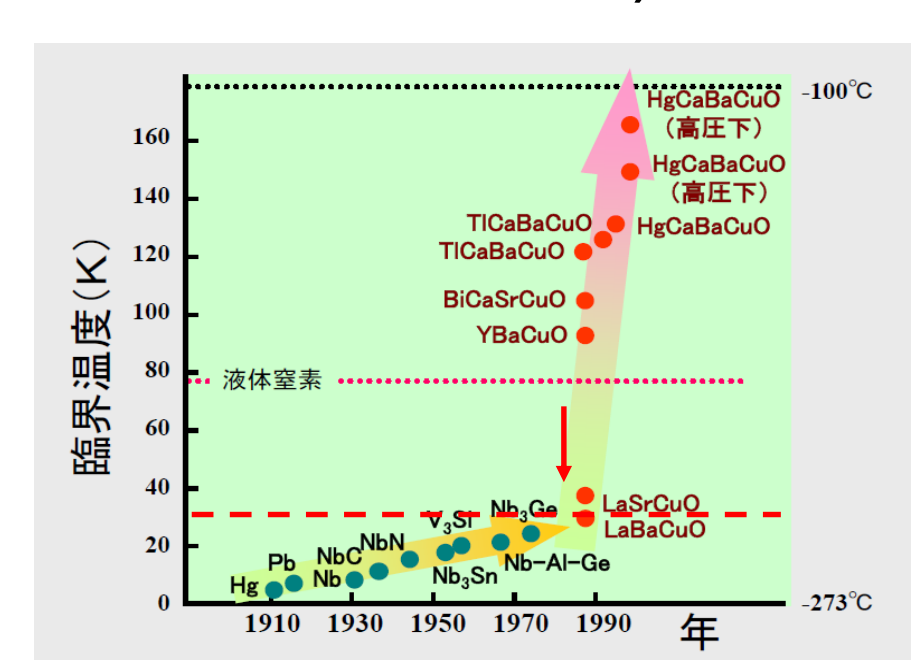
1986年 J.G. BednorzとK. A. Müllerによ る銅酸化物による超伝導の発見



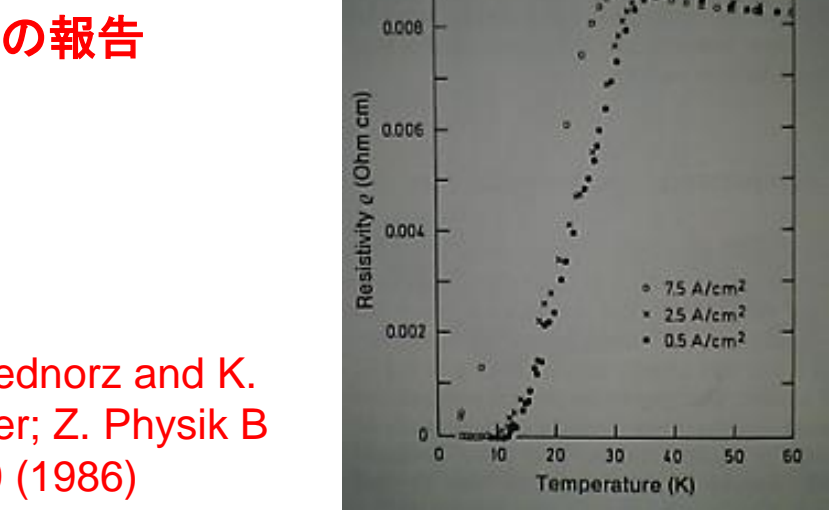
J. G. Bednorz



銅酸化物超伝導体La_{2-x}Ba(Sr)_xCuO₄ の結晶構造



酸化物超伝導の 最初の報告



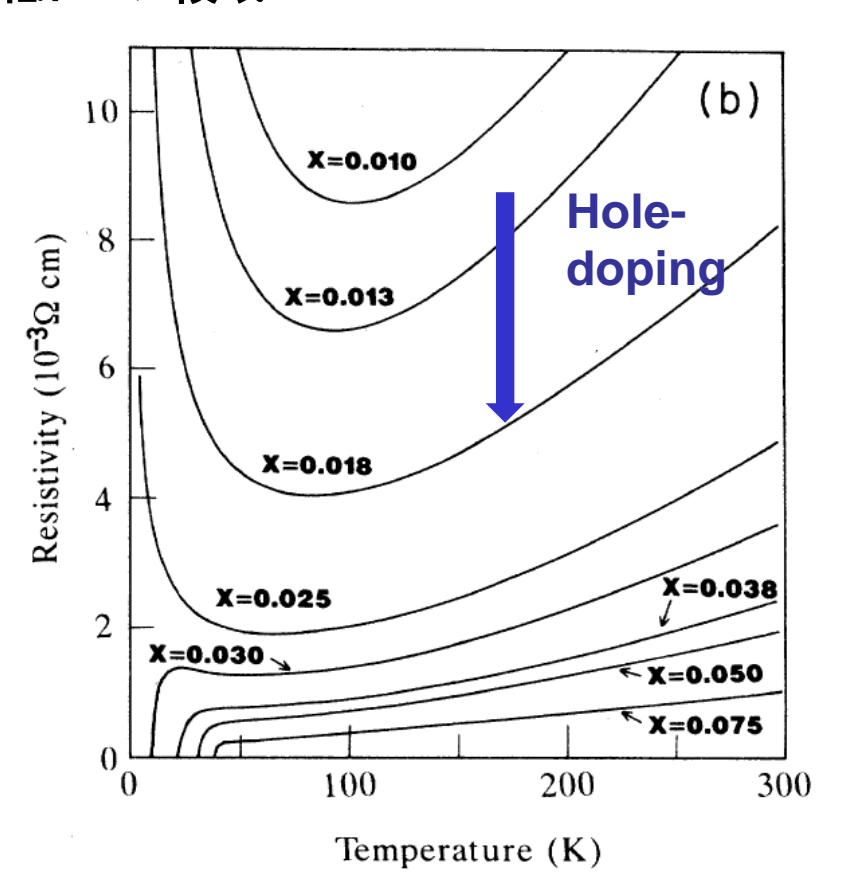
Bants La 25 Cus O5 (3-1)

J. G. Bednorz and K. A. Müller; Z. Physik B **64**, 189 (1986)

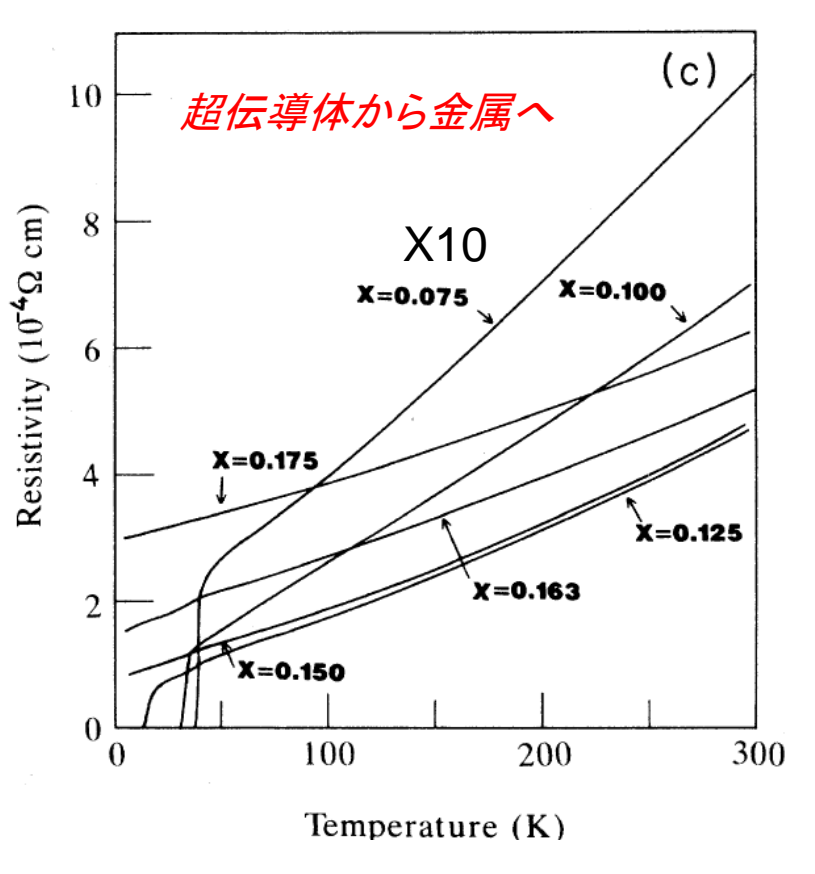
高温超伝導体 (La_{1-x}Sr_x)CuO₄の電気抵抗

母物質La₂CuO₄:Mott絶緣体

低ドープ領域



高ドープ領域



キャリアー (ホール、電子)ドープにより、反強磁性絶縁体から、超伝導、通常金属状態に変化する。

H. Takagi *et al.* Phys. Rev. B **40**, 2254 (1989)

銅酸化物高温超伝導体が教えてくれたこと

母物質: La³⁺₂Cu²⁺O²⁻₄

 $Nd^{3+}_{2}Cu^{2+}O^{2-}_{4}:Cu^{2+}(3d^{9})$

cf. Cu metal: (3d¹⁰)(4s¹)

Cu₂O: Cu¹⁺ (3d¹⁰) バンド絶縁体

CuO: Cu²⁺ (3d⁹) AFI, モット絶縁体

electron doped

SC

0.84

超伝導

反強

磁性

AFM

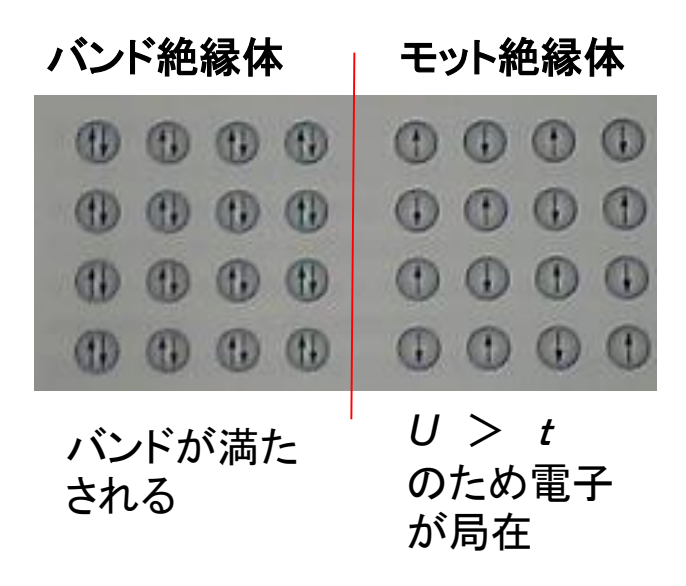
ホールドープ系: La_{2-x}3+Sr_x2+CuO₄

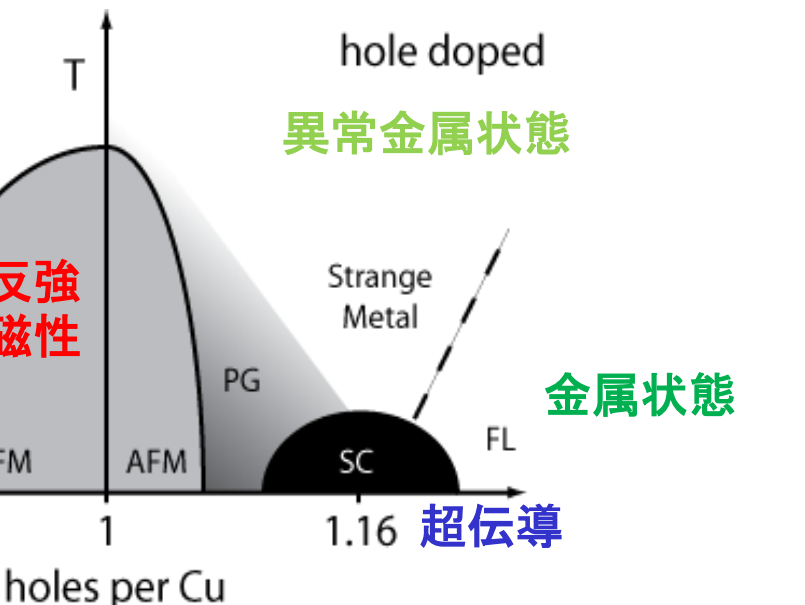
電子ドープ系: Nd³⁺_{2-x}Ce⁴⁺_xCuO₄

銅酸化物超伝導体 の相図 (概念図)

磁性体が超伝導体に!! 金属状態

バンド絶縁体とモット絶縁体の違い





最初の非従来型超伝導(CeCu₂Si₂) 1979年



F. Steglich

Phys. Rev. Lett. 43, 1892 (79)

雷気抵抗

resistivity (arb. units)

B (Tesla)

ceptibility (inset) of CeCu2Si2 as function of temperature.

Arrows give transition temperatures $T_c^{(p)} = 0.60 \pm 0.03$

between 10% and 90% points of the transition curves.

K and $T_c(x) = 0.54 \pm 0.03$ K. Transition widths are taken

Superconductivity in the Presence of Strong Pauli Paramagnetism: CeCu2Si2

F. Steglich

Institut für Festkörperphysik, Technische Hochschule Darmstadt, D-6100 Darmstadt, West Germany

and

J. Aarts, C. D. Bredl, W. Lieke, D. Meschede, and W. Franz II. Physikalisches Institut, Universität zu Köln, D-5000 Köln 41, West Germany

and

H. Schäfer

Eduard-Zintl-Institut, Technische Hochschule Darmstadt, D-6100 Darmstadt, West Germany (Received 10 August 1979; revised manuscript received 7 November 1979)

A comparison was made between four low-temperature properties of LaCu2Si2 and CeCu2Si2. Whereas LaCu2Si2 behaves like a normal metal, CeCu2Si2 shows (i) low-temperature anomalies typical of "unstable 4f shell" behavior and (ii) a transition into a superconducting state at $T_c \simeq 0.5$ K. Our experiments demonstrate for the first time that superconductivity can exist in a metal in which many-body interactions, probably magnetic in origin, have strongly renormalized the properties of the conduction-electron gas.

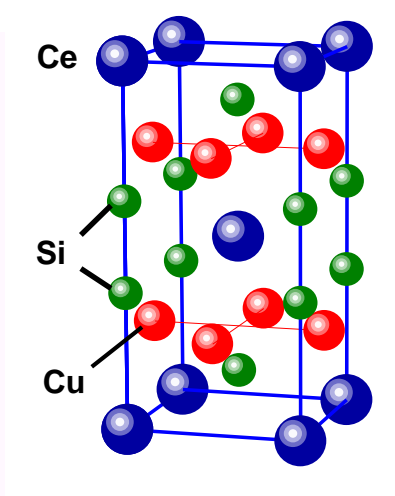
比熱

T_c で比熱に大き なとび

重い電子の







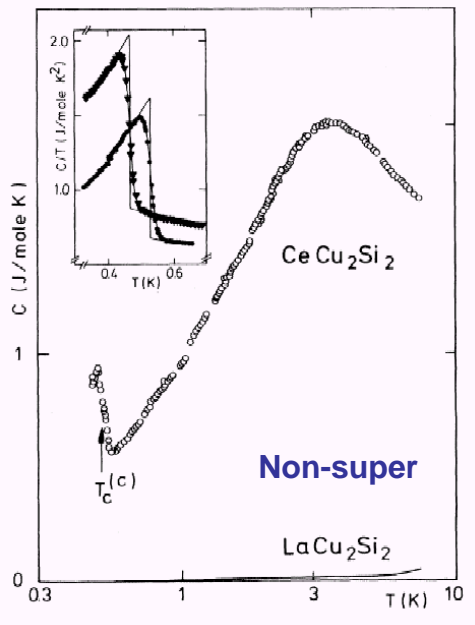


FIG. 2. Molar specific heat of $CeCu_9Si_9$ at B=0 as function of temperature on logarithmic scale. Arrow marks transition temperature $T_c^{(C)} = 0.51 \pm 0.04$ K. Transition width determined as in Fig. 1. Inset shows in a C/T vs T plot the specific-heat jumps of two other CeCu2Si2 samples.

3. 非従来型超伝導(強相関電子系超伝導)の特徴

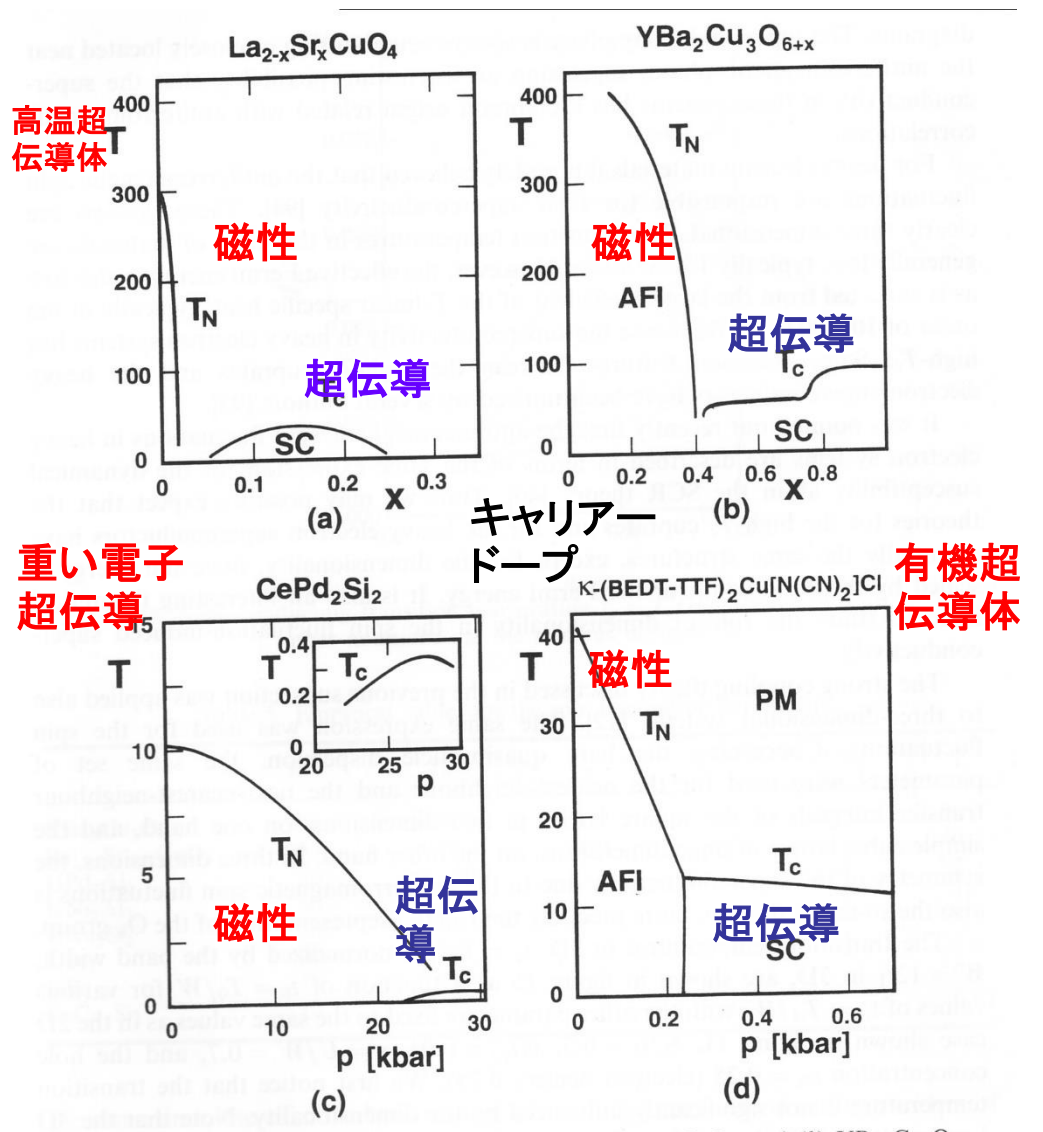


Figure 14. Phase diagrams of high- T_c cuprates, (a) $La_{2-x}Sr_xCuO_4$ and (b) $YBa_2Cu_3O_{6+x}$, (c) a heavy electron superconductor $CePd_2Si_2$ under pressure p and (d) an organic superconductor κ -(ET)₂Cu[N(CN)₂]Cl under pressure. T_N : Néel temperature, AFI: antiferromagnetic insulator, SC: superconductor, PM: paramagnetic metal.

- 異方的超伝導体である。 超伝導対の対称性(性質)が従来のBCS超伝導体と性質を異にする
- 磁気相と超伝導が競合 (共存)している。

磁性と超伝導が密接に関係

cf. 従来(金属)の超伝導体では磁 気の相互作用は超伝導を破 壊すると思われていた。

超伝導対の波動関数

P.W. Anderson and P. Morel, PR 123 1911('61) "Generalized BCS State..."

$$\Psi(\mathbf{r}_1, \sigma_1; \mathbf{r}_2, \sigma_2) = \chi(\sigma_1, \sigma_2) \cdot \psi(\mathbf{r}_1, \mathbf{r}_2)$$

Spin part Orbital part

Spin part:
$$S = 0$$
 スピン一重項 $\chi^{S=0} = (1/\sqrt{2})(\uparrow\downarrow\downarrow) - |\downarrow\uparrow\rangle$

$$\chi^{S=0} = \left(1/\sqrt{2}\left(|\uparrow\downarrow\rangle - |\downarrow\uparrow\rangle\right)$$

$$S = 1$$
 三重項 $\chi^{S=1} = |\uparrow\uparrow\rangle, (1/\sqrt{2})(|\uparrow\downarrow\rangle + |\downarrow\uparrow\rangle), |\downarrow\downarrow\rangle$

スピン三重項超伝導

Orbital part:
$$\psi(r_1, r_2)$$
 $r = r_1 - r_2$ $\psi(r)$

$$\left(-\frac{\hbar^2}{m}\nabla^2 + V(\mathbf{r})\right)\psi(\mathbf{r}) = E\psi(\mathbf{r})$$

V(r) が異方的な場合、超伝導対の波動関数も異方的になる

$$\psi(r) \propto Y_l^m ig(heta, oldsymbol{arphi}ig)$$
 球面調和関数

$$l = 0,$$
 $l = 1,$ $l = 2,$ $l = 3,$

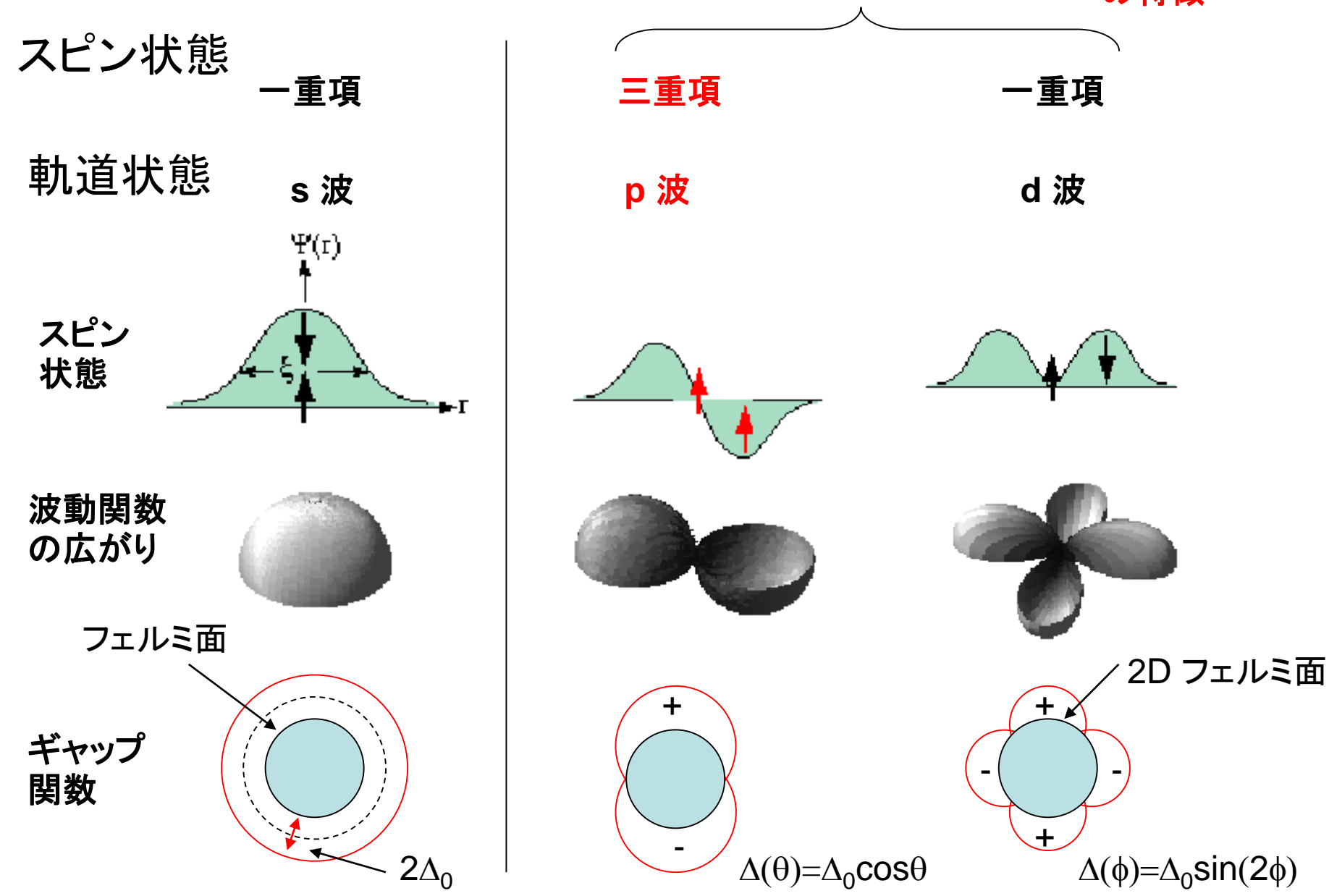
s-波, p-波, d-波, f-波

$$\Delta_l(k) = \Delta_0 \sum_{m=-l}^{l} \lambda_{lm} Y_l^m(\theta, \varphi)$$
 異方的な超伝導ギャップ

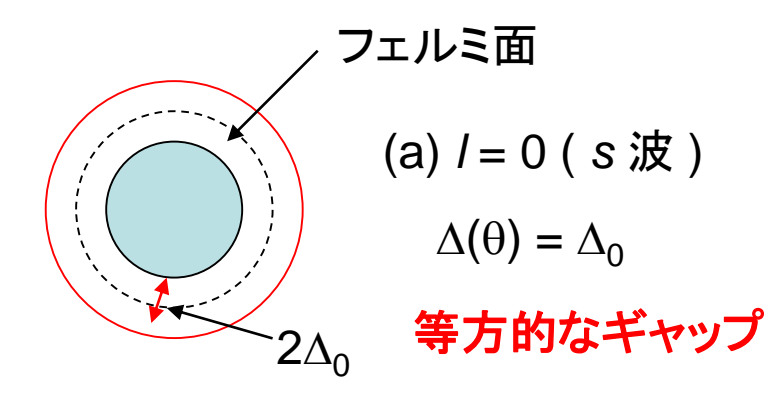
異方的超伝導対

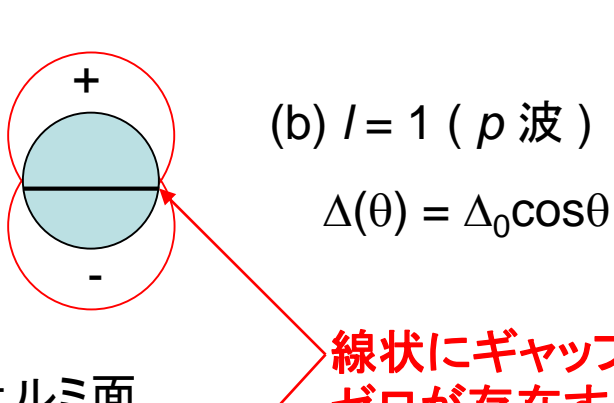
原点に振幅を持たない

強相関電子系 の特徴



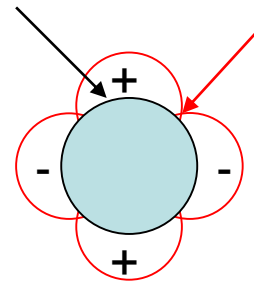
異方的超伝導ギャップ





2D フェルミ面

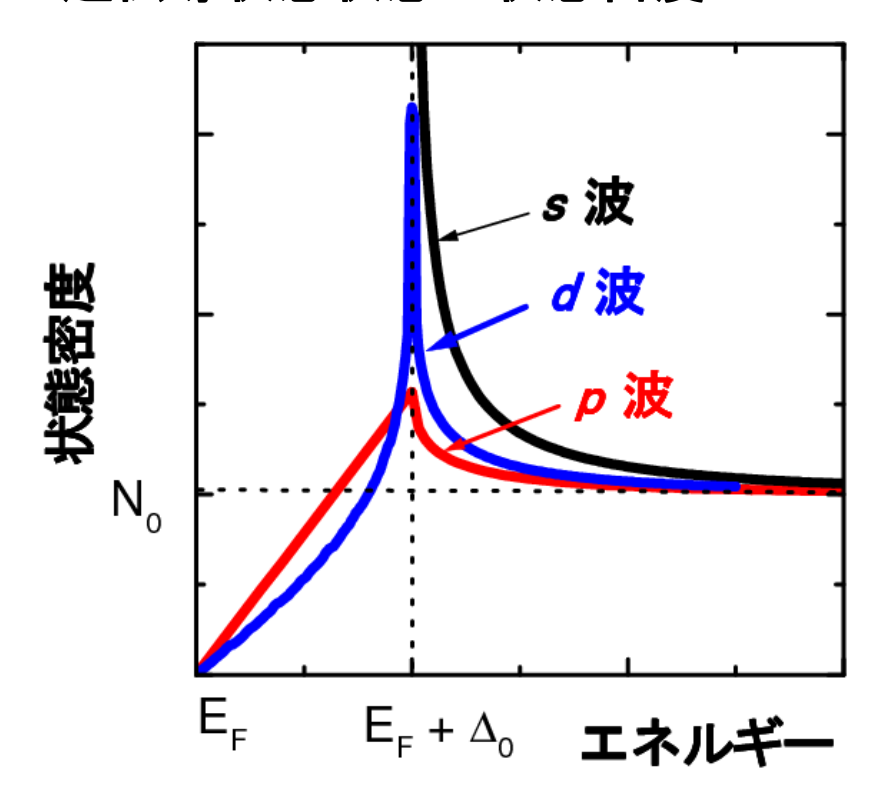
Top-View



線状にギャップ ゼロが存在する

(c)
$$I = 2$$
 (d 波)
$$\Delta(\phi) = \Delta_0 \sin(2\phi)$$

超伝導状態状態の状態密度



異方的超伝導ギャップの特徴

超伝導ギャップ内に連続的に状態を $N(E) \propto E$ 持つ



超伝導状態の物理量が温度の ベキ乗となる。



P. W. Anderson

Generalized Bardeen-Cooper-Schrieffer States and the Proposed Low-Temperature Phase of Liquid He³

P. W. Anderson Bell Telephone Laboratories, Murray Hill, New Jersey

AND

P. Morel French Embassy, New York, New York (Received May 15, 1961)

Particle interactions in a Fermi gas may be such as to attract pairs near the Fermi surface more strongly in l=1,2,3 or higher states than in the simple spherically symmetrical s state. In that case the Bardeen-Cooper-Schrieffer condensed state must be generalized, and the resulting state is an anisotropic superfluid. We have studied the properties of this type of state in considerable detail, especially for l=1 and 2. We have derived expressions for the energy, the moment of inertia, the magnetic susceptibility and the specific heat. We also derive the density correlation function and the density-current density correlation; in some cases

the latter implies that the liquid has net surface currents and a net orbital angular momentum. The ground state for l=2 is different from those previously considered, and has cubic symmetry and no net angular momentum. A general method for replacing the possibly rather complicated potential by a simple scattering matrix is given. A brief discussion of possible collective effects is included. We apply our results to liquid He^3 ; after correction for scattering by a method due to Suhl, it is found that the predicted transition should take place below 0.02° K. Other possible applications are suggested.

Quasiparticle DOS

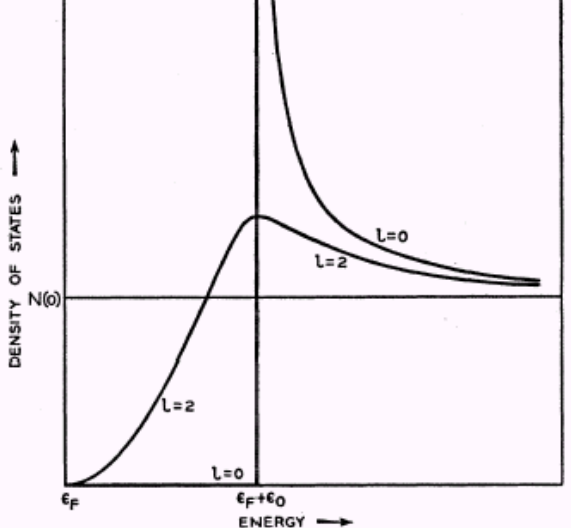


Fig. 2. Comparison of the individual-particle excitation energy spectra for normal fluid (constant density of states equal to N_0), an s-type condensed fluid (l=0) and a d-type condensed fluid (l=2).

Spin Susceptibility

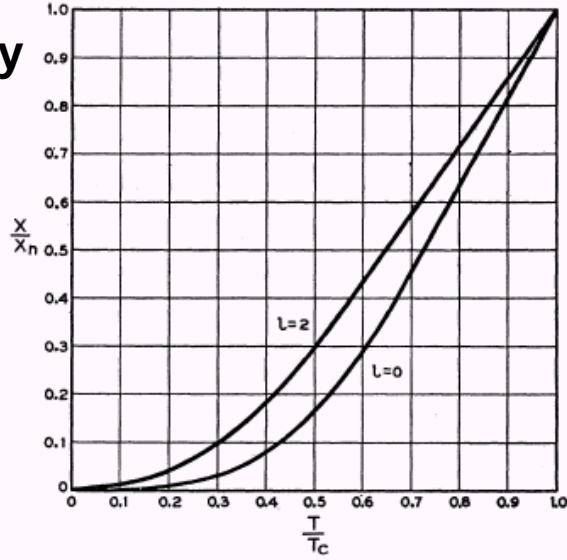


Fig. 3. Comparison of the variation of the paramagnetic susceptibility versus temperature for an s-type condensed fluid (l=0) and a d-type condensed fluid (l=2).

スピン三重項超伝導 Sr₂RuO₄ (前野 et al. '94)

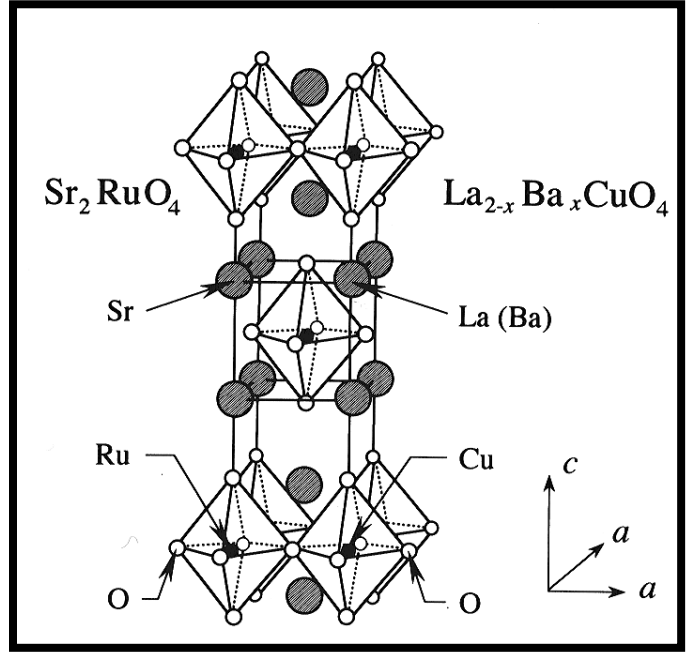


FIG. 6. Temperature dependence of $^{99}K_{\perp}^s$. The dotted curve is the calculation based on the spin-singlet d-wave $(d_{x^2-y^2})$ model with a line node (see text).

超伝導状態におけるスピン帯磁率の測定

酸素

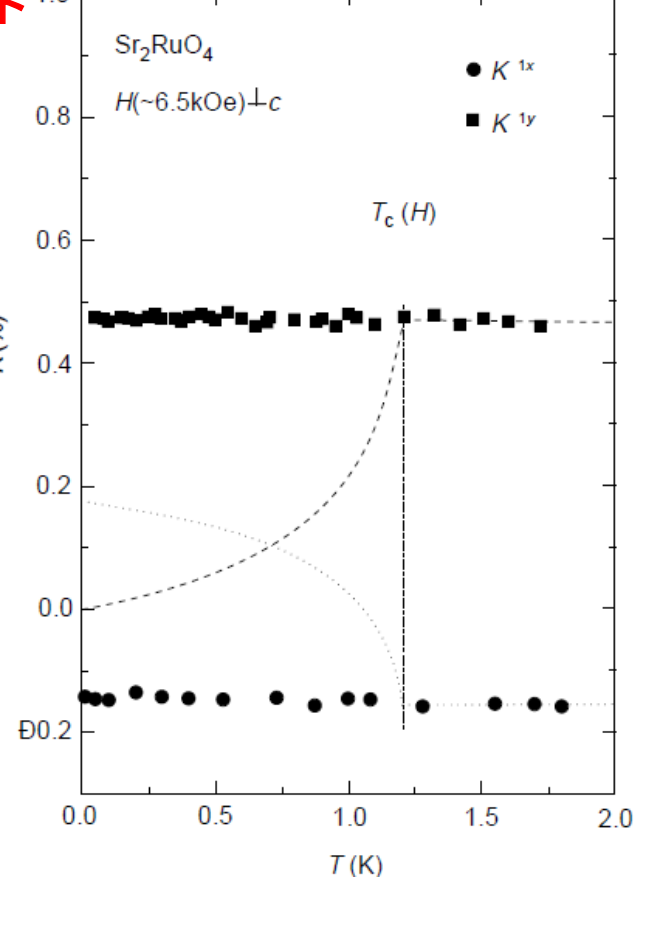
Y. Maeno et al. Nature 372, 532 ('94)

RuとOの両サイトのナイトシフトは超伝導状態で変化が見られない

超伝導状態で弱い磁化

スピン三重項 超伝導体

K.Ishida *et al.* PRB(00)



K. Ishida *et al.* Nature 396, 658 ('98)

4.トピックス I MgB_2 ($T_c = 39 K$)

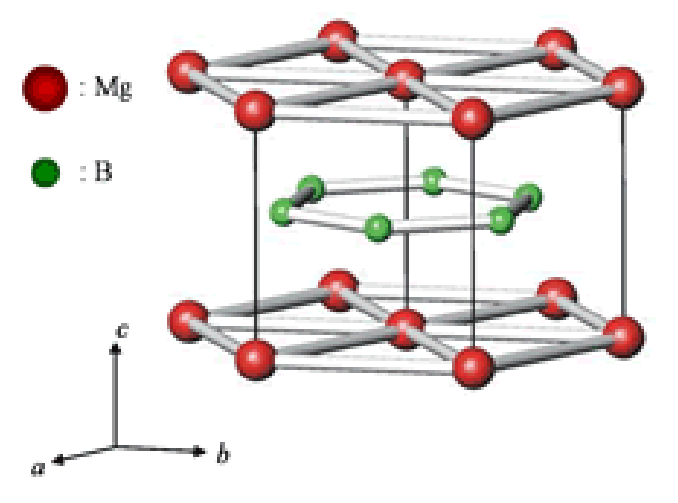


Fig.11 MgB₂の結晶構造

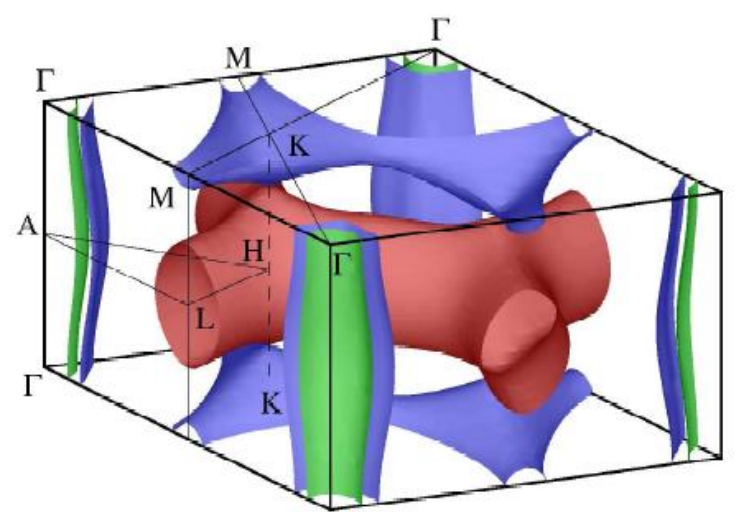
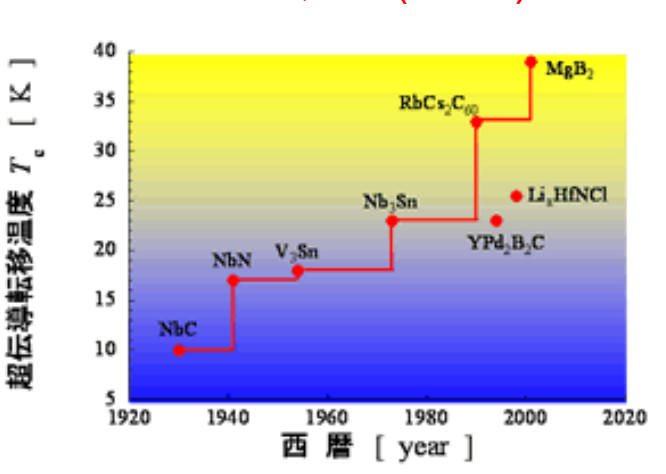


FIG. 1. Fermi surface of MgB₂. The figure is taken from Ref. [5]. Holes in the σ -band form cylinders around the ΓA -line. The π -band has electron and hole pockets located near the H- and K-points, respectively.

J. Nagamatsu *et al.*, Nature **410**, 63 (2001)



T = 39 [K]

80

G1

60

90

50

100

150

200

250

300

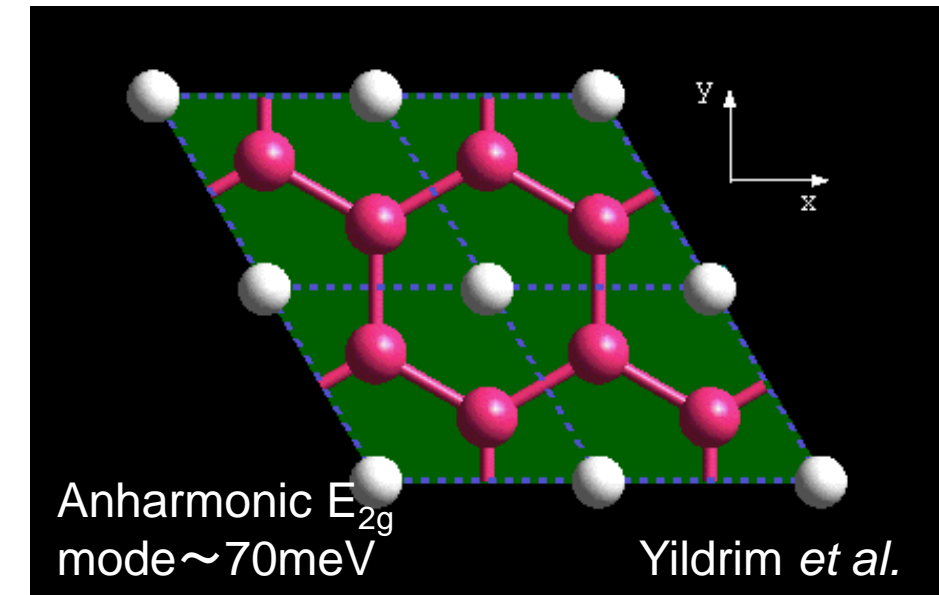
温度

[K]

銭谷、秋光、永松

Fig.1 金属間化合物におけるこの推移

 $Fig.2 MgB_2$ における電気抵抗の温度依存性



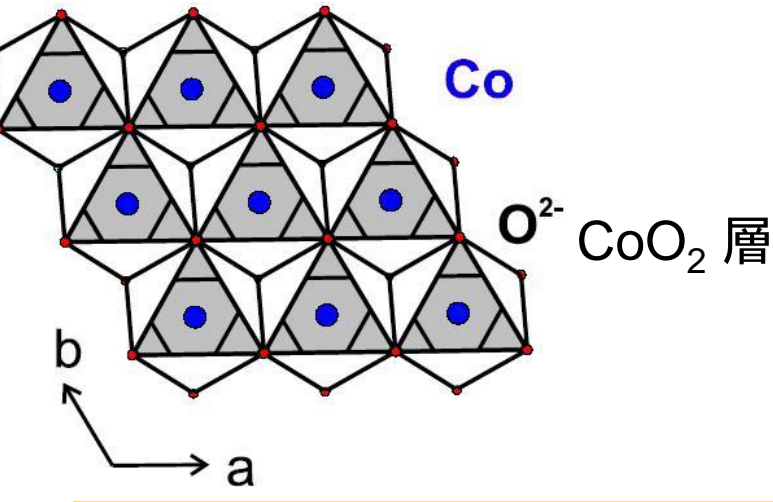
トピックスII 2003年に発見 Bilayered Hydrate -Na_xCoO₂•yH₂O 母物質 $Na_{x}CoO_{2}(x\sim0.7)$ CoO₂ H₂O Na CoO H₂O Na Oxidation CoO₂ CoO2 Process Na H₂O Na CoO₂ H_2O Susceptibility CoO2 Resistivity • H = 20 Oe ▼ H = 100 Oe $H = 30 \text{ kOe} \cdot H = 1 \text{ kOe}$ • H = 70 kOe 0.014 0.022 -0.012 0.020-(O cm 0.010 0.018 HIIIIIIIIIIIIIIIIIII 0.016 0.014 0.006 0.012

水和物コバルト酸化物の超伝導

100



2次元層状構造 CoO2 層



Co イオンは三角格子を 形成している

銅、ルテニウム酸化物 超伝導体のCu(Ru)O。 面は正方格子を形成

Takada et al. Nature 422 (2003) 53

0.000

Temperature (K)

20

Temperature (K)

0.010-0.008

20

Temperature (K)

e.m.u. g-1)

X (10-3

~1985: Ionic Mobility of Li, Na → batteries

リチウム電池の原理

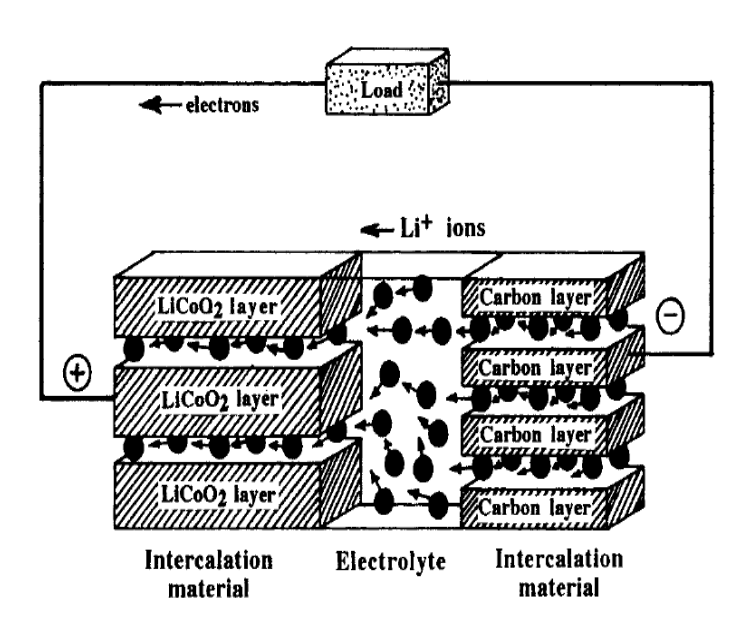
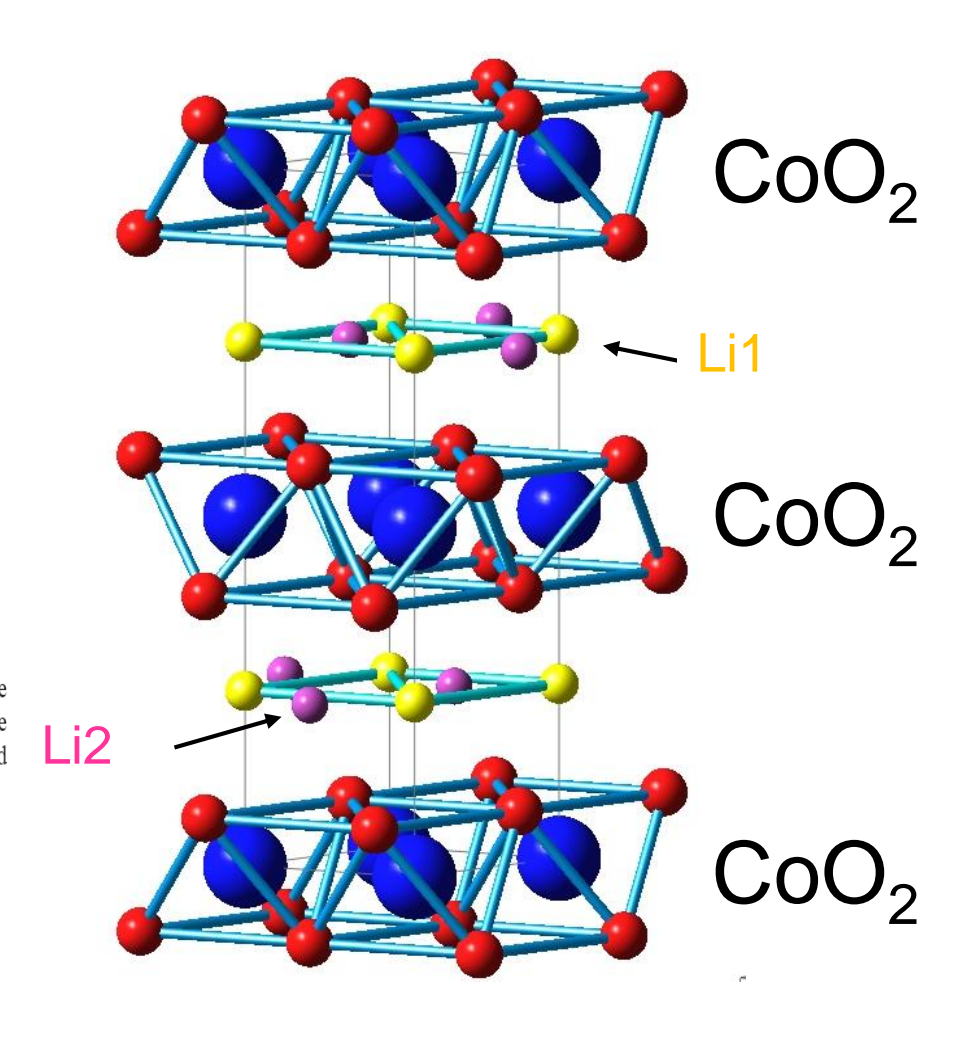
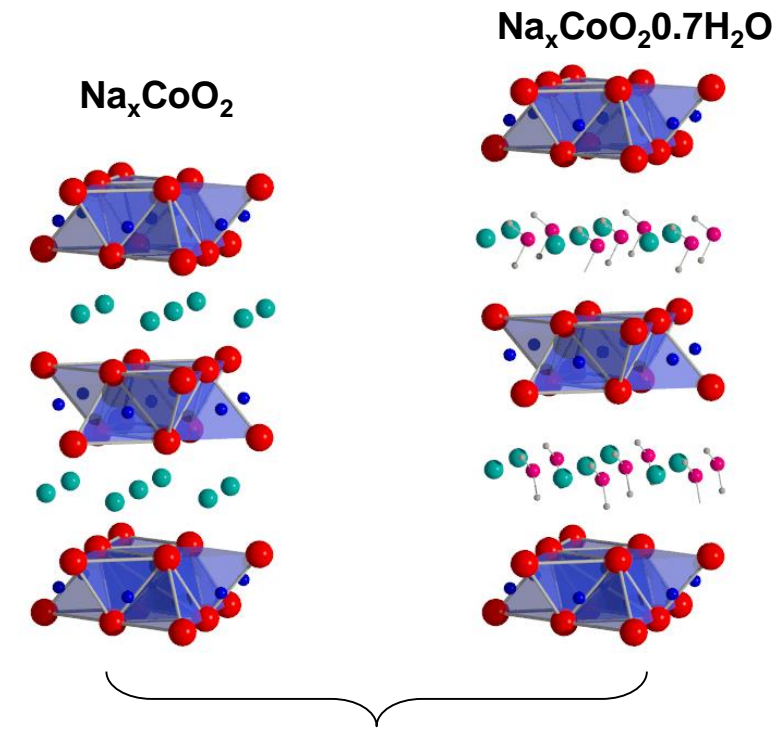


FIGURE 11.11. Schematic representation of a metal-free lithium battery (or rocking-chair battery) during the discharge. The Li⁺ ions rock between the two intercalation materials: $LiCoO_2$ and Li_xC_6 electrodes. The immediate advantages expected for such a battery are the high energy density and the safety behavior. (From Julien, C. and Nazri, G.A., *Solid State Batteries: Materials Design and Optimization*, Kluwer, Boston, 1994. With permission.)

Li_xCoO₂



$Na_x(H_3O)_zCoO_2 \cdot yH_2O$



CoO₂ H₂O H₂O H₂O CoO₂

超伝導

Na_xCoO₂1.4H₂O

Naの濃度の調節と、水を挿入するため単結晶を水溶液中に数時間浸す。

保存も湿度70% の環境で放置

非超伝導



2伝導



Na_xCoO₂の単結晶

トピックス川

鉄ヒ素超伝導体の発見 (2008年)

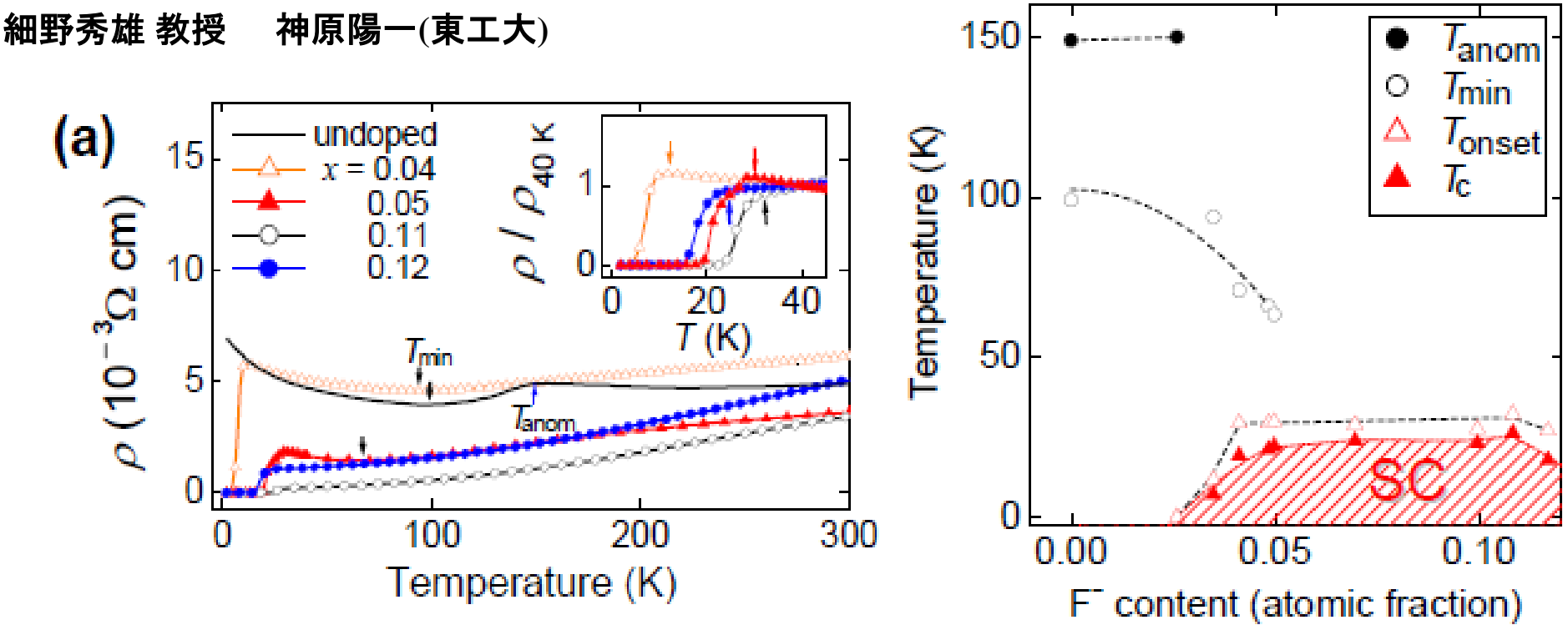




Iron-Based Layered Superconductor La[O_{1-x}F_x]FeAs (x = 0.05-0.12) with $T_c = 26$ K

Yoichi Kamihara,*,† Takumi Watanabe,‡ Masahiro Hirano,†,§ and Hideo Hosono†,‡,§

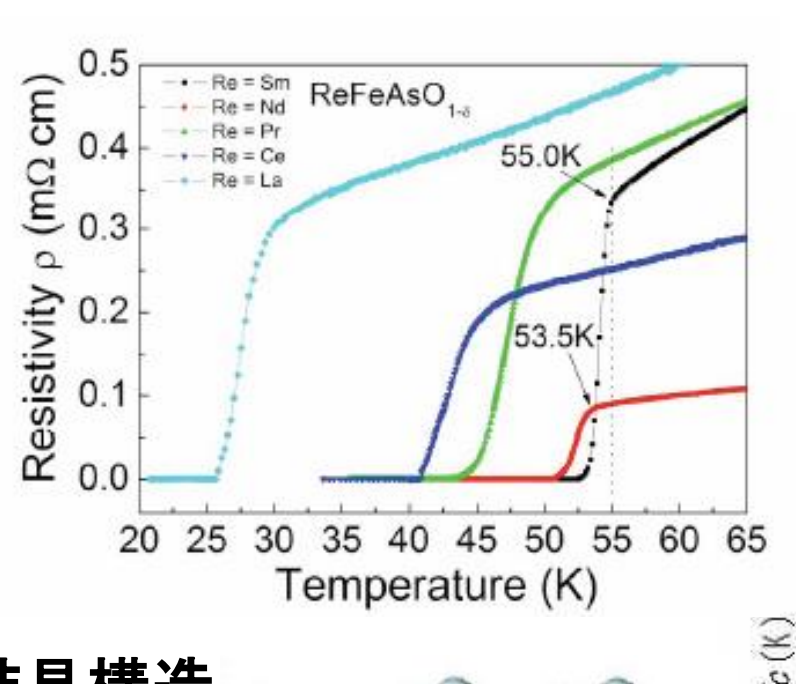
Kamihara *et al*, JACS, 130, 3296 (2008).



◆通常磁性を示すFe元素が超伝導に重要な役割をしている。

Fe系超伝導体の超伝導転移温度の上昇

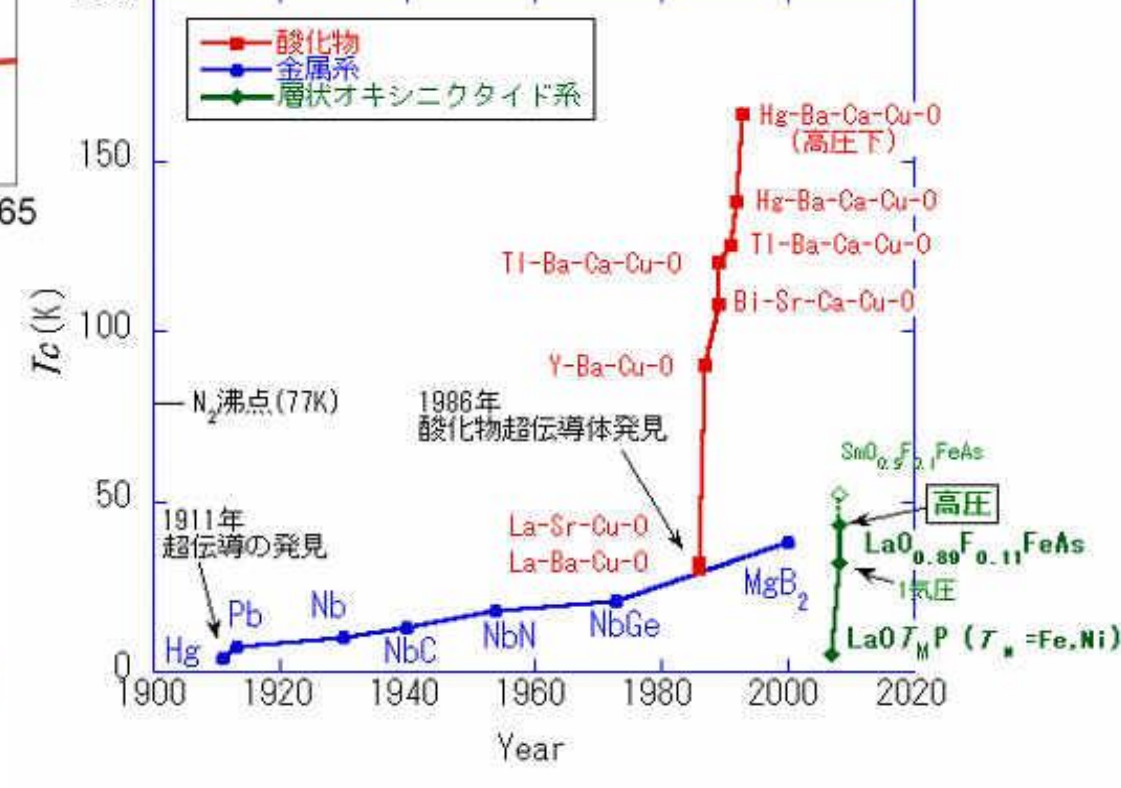
200



Fe

As

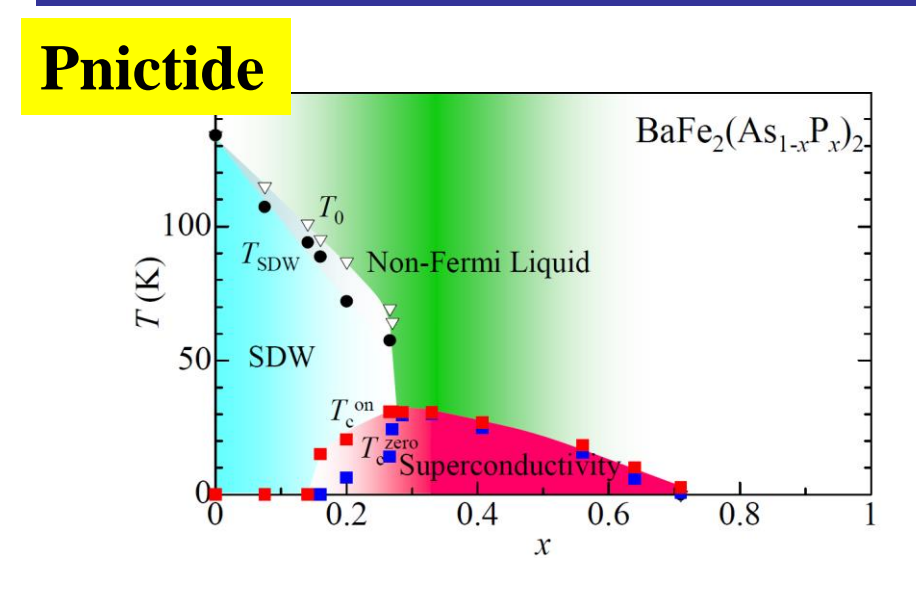
LaサイトをSm、Ndに置換すると $T_c = 55$ K まで上昇

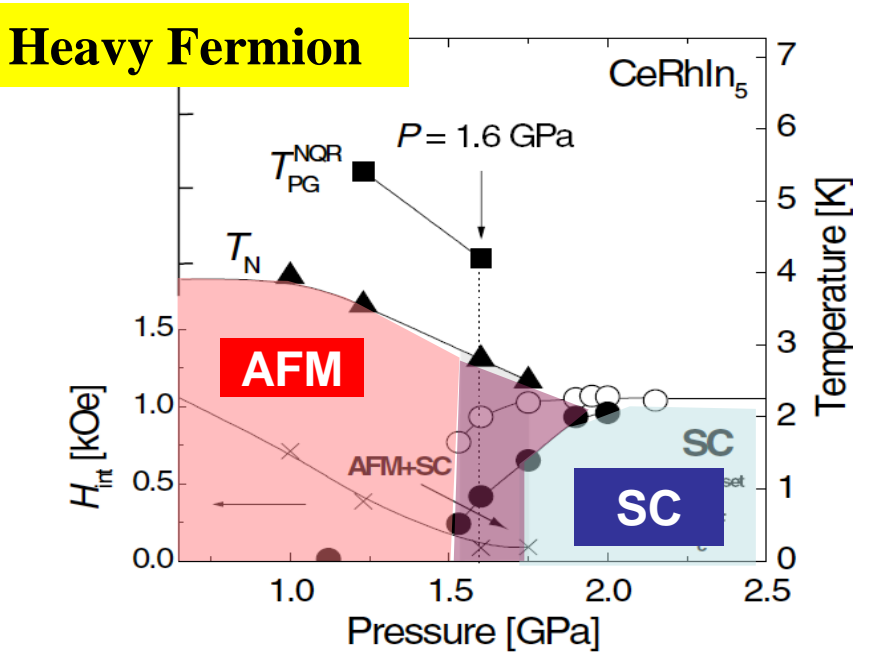


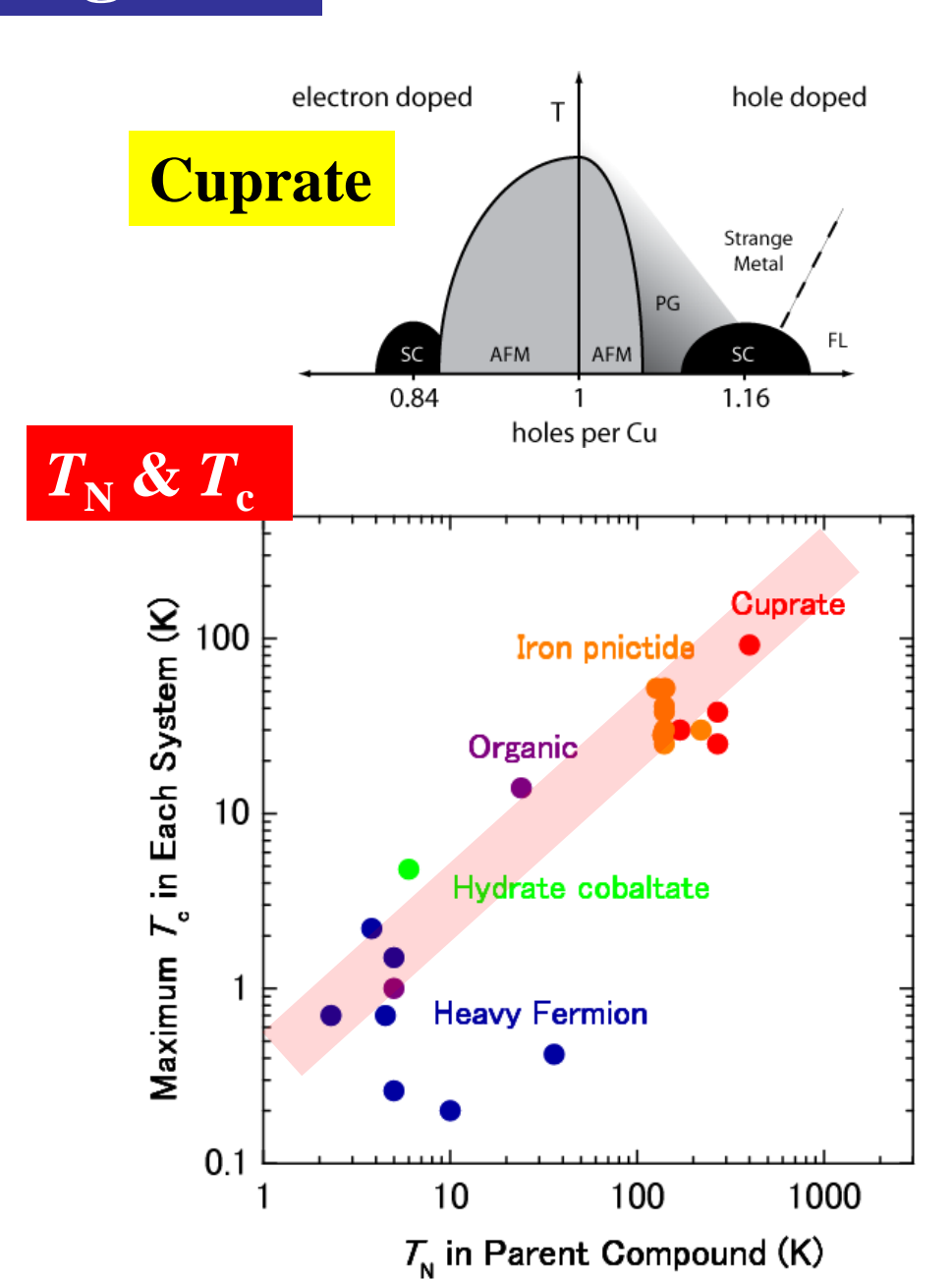
900 1920 1940 1960 1980 2000 2020 Year 超伝導転移温度の年度推移 東工大 細野研究室HP より

結晶構造

Universality of Phase Diagram







パリティ 4月号 2011年

close-up

磁石にくっつく超伝導体

強磁性と超伝導の微視的な共存

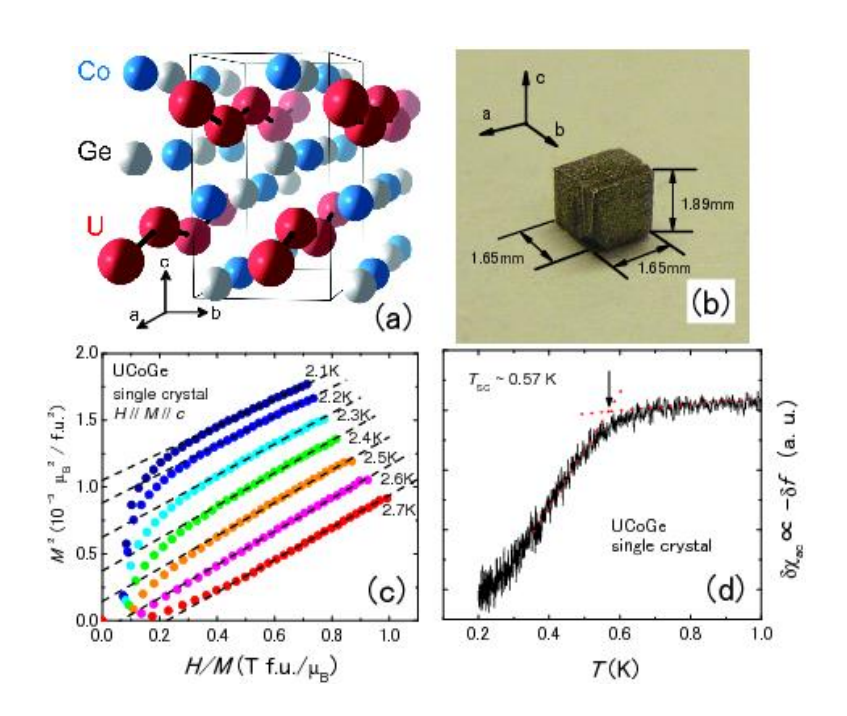
石田憲二, 佐藤憲昭

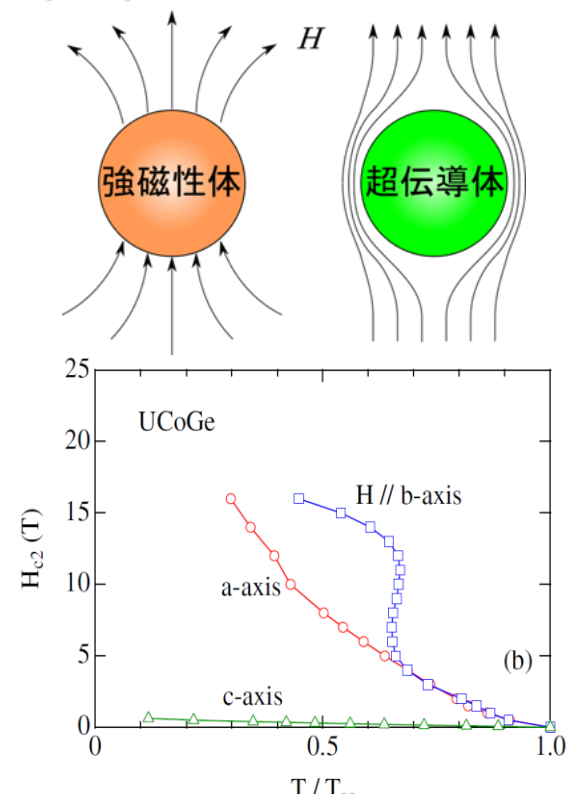
はじめに

「強磁性と超伝導は共存できるのか?」 という長年の問題が超伝導研究にはあ $\simeq 130$ K, 超伝導転移温度 $T_{\rm Super} \simeq 30$ K) では、強磁性は ${\rm RuO_2}$ 層で、超伝導は ${\rm CuO_2}$ 層で起こることが知られていた $^{5)}$ 。

現在までの精力的な研究によ Ulr⁷⁾, URhGe⁸⁾, UCoGe⁹⁾が異 性超伝導体として見いだされている なかでもURhGeとUCoGeは、等

UCoGe





超伝導は磁場下で安定する?!

強磁性超伝導体 UCoGeの研究

2012年 2月 京大HPより Kyoto University

尿都大学

検索

イベントカレンダー

刊行物·資料請求

お問合せ

アクセス・マップ

サイトマップ

リンク

見在の場所: <u>ホーム</u> > <u>研究</u> >> お知らせ

ホーム

* 概要

● 教育

◆ 研究

研究支援体制

白眉プロジェクト

若手研究者支援

女性研究者支援

シニア・コア研究者支 援

研究成果

研究最前線からのメッ セージ **磁石でありながら超伝導にもなる物質の超伝導発現の新しい仕組みを解明 – 磁石が生み出す超伝導**

2012年2月7日

服部泰佑 理学研究科物理学・宇宙物理学専攻大学院生、石田憲二 同教授、多田靖啓 元同大学院生(現 物性研究所助教)、藤本聡 同准教授らの研究グループは、佐藤憲昭 名古屋大学理学研究科教授、佐藤伊佐務 東北大学金属材料研究所准教授らのグループと共同で、磁石であると同時に超伝導にもなる珍しいウラン化合物が、磁石の性質を利用して超伝導になっていることを明らかにしました。これは今まで知られている超伝導の発現の仕組みとは全く異なる新しいものであり、磁場に対して頑丈なより実用的な超伝導物質を探索する上で重要な指針を与えるものです。さらにこの物質では、「小さな磁石」の集まりが「磁石」の向き

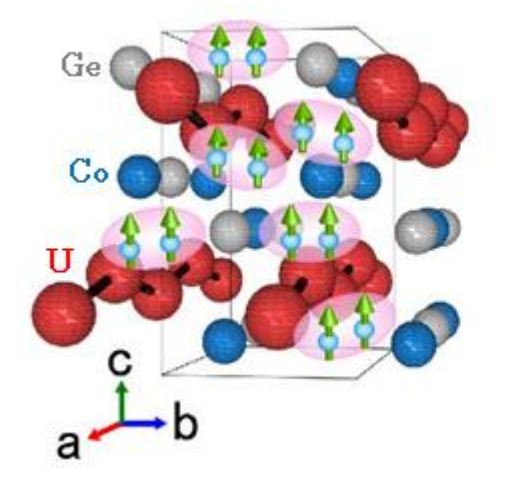


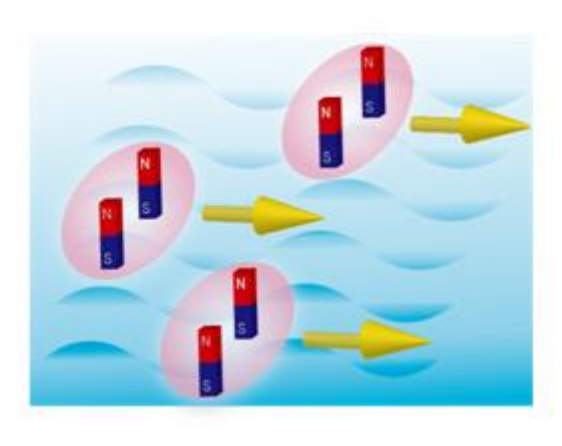
Eから藤本准教授、服部氏、石田教授

を揃えながら超伝導状態になっており、磁石の性質を持つ超「磁石」伝導とも言える新しい量子状態であることが明らかになりました。

本研究成果は、米国科学誌「Physical Review Letters」に2012年2月6日掲載予定です。本論文はEditors' suggestion (注目論文) に選定されました。

http://www.kyoto-u.ac.jp/ja/news_data/h/h1/news6/2011/120207_1.htm





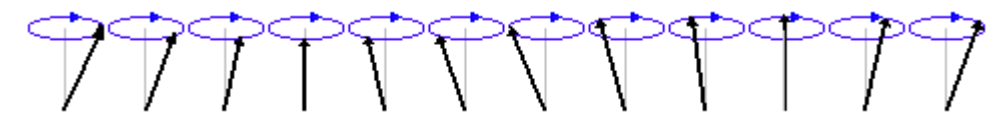
京都新聞 H240207 3面



実用性高い物質探し手掛かり

Spin-wave excitations in the Ferromagnetic ordered state

Conventional spin-wave



fluctuations in the xy plane

Spin wave in UCoGe

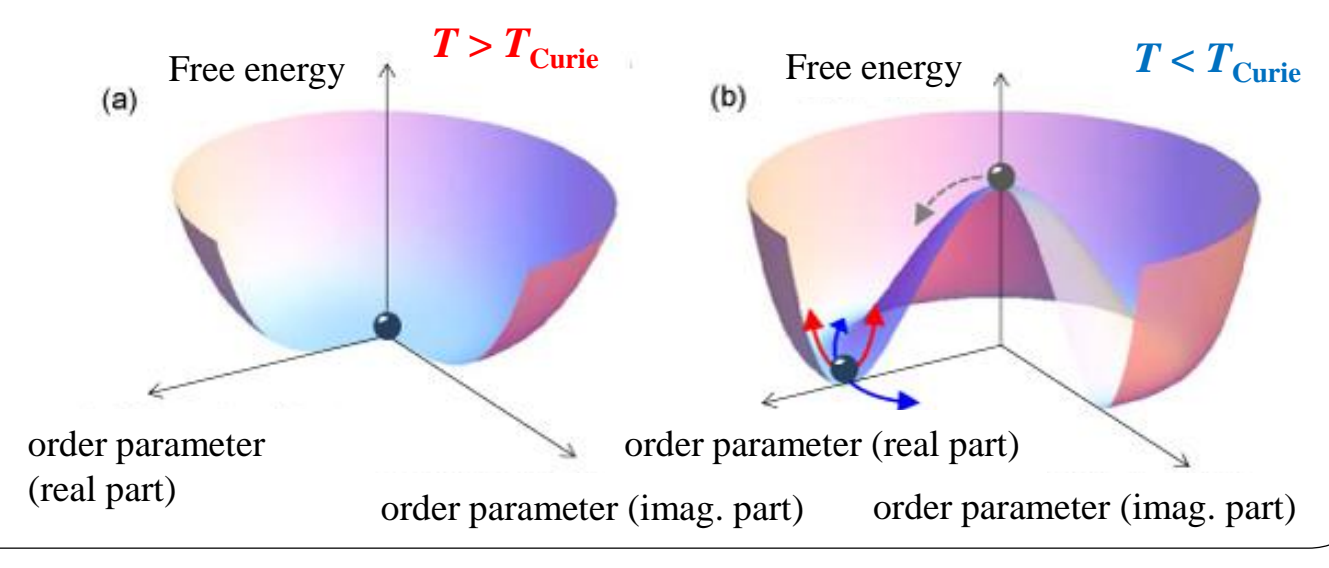


longitudinal fluctuations along the ordered moments

FM ordered state order parameter is a magnitude of FM moments

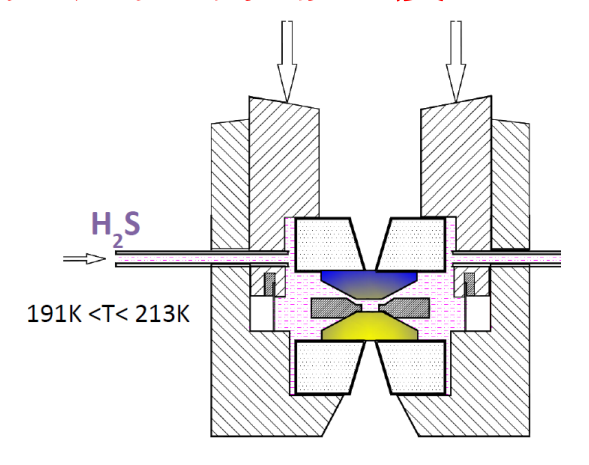


Amplitude fluctuations Higgs mode



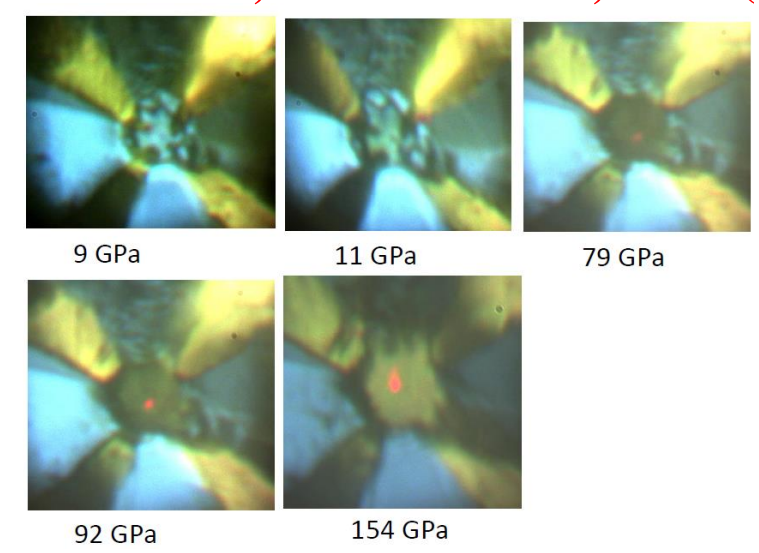
硫化水素超伝導 (H₃S)

最高の超伝導転移温度 203 K

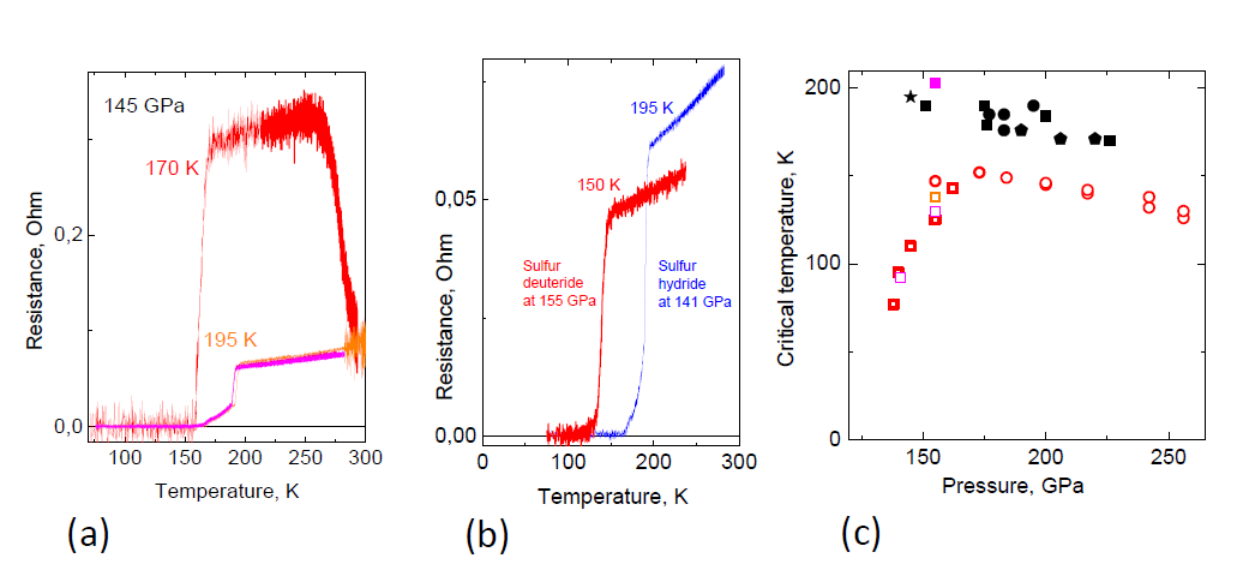


硫化水素の閉じ込め

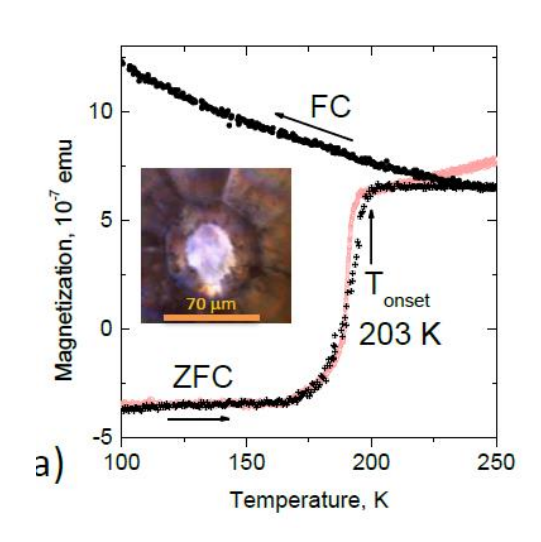
A. P. Drozdov, M. I. Eremets, et al. (2016)



硫化水素の加圧による金属化



電気抵抗による超伝導転移の様子



マイスナー信号

新奇な超伝導(物質)は

予想外のところから発見されている!

創発現象

超伝導の専門家以外、学部学生も見つけている 実験をしてみることが一番重要

様々な相互作用が超伝導の発現機構になりうる

磁気的相互作用、クーロン相互作用、電荷ゆらぎ、 軌道ゆらぎ etc

現在、超伝導の研究の中で、歴史的な発見がなされようとしている。

5. 超伝(電)導の応用

巨大超伝導磁石 (MRI, リニア新幹線)

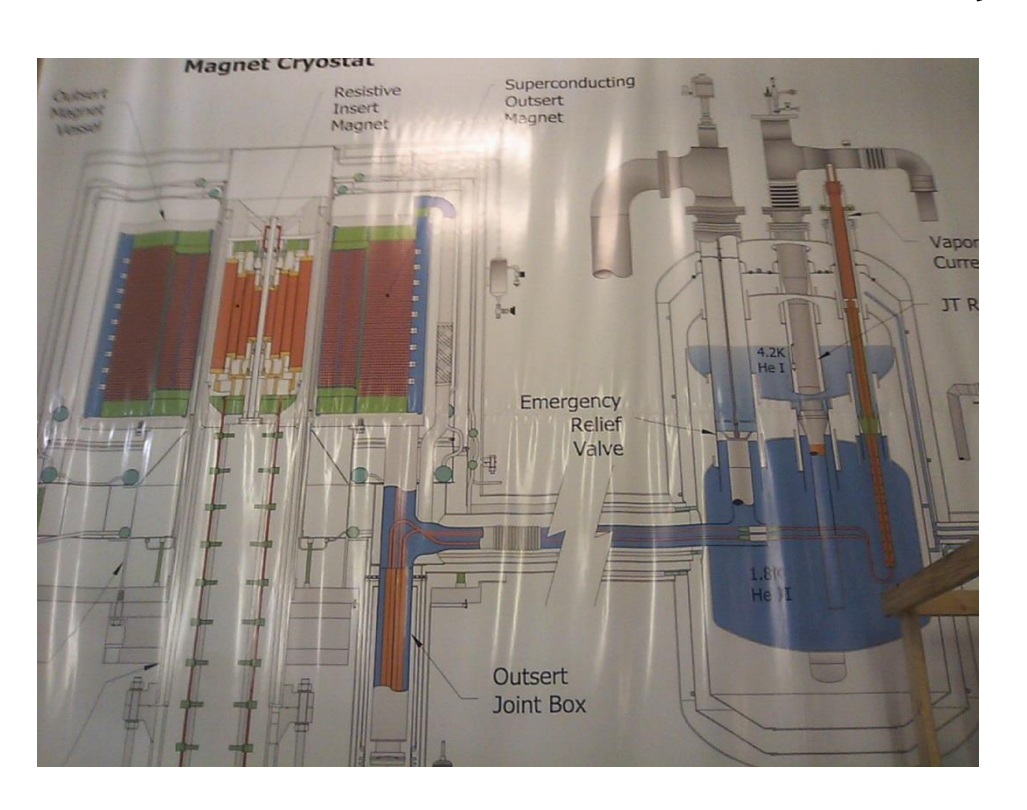




JR式マグレブ JR東海

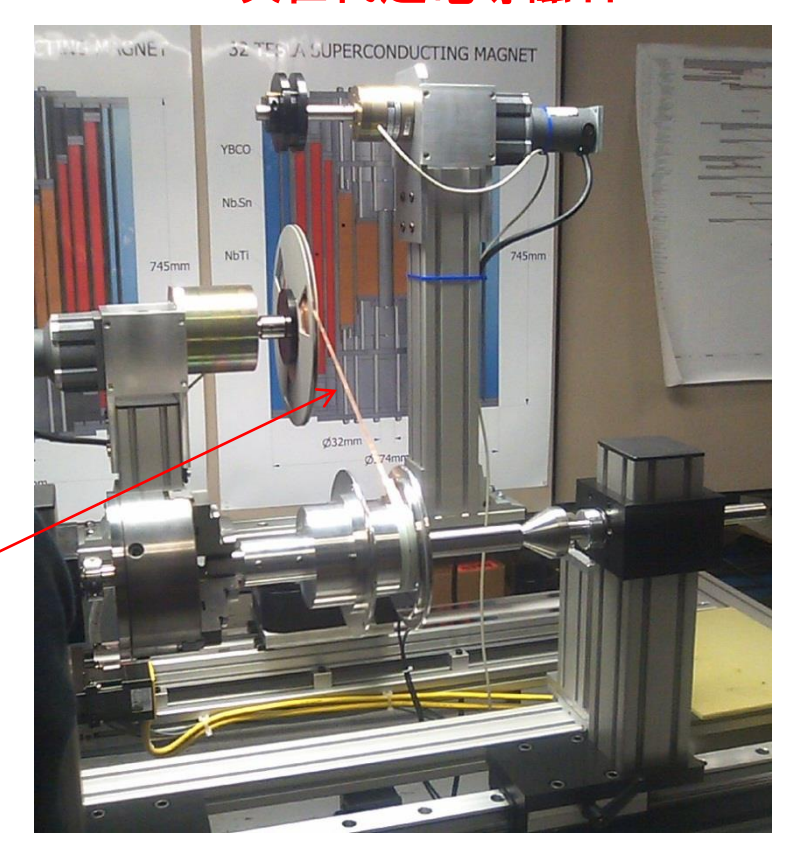
つくばの NIMS(国の研 究所)にある NMR用超伝導 磁石(21.6T)

世界最強の磁場(45T) @ 強磁場研究施設 フロリダUSA)



YBCOを使った線材が 実用化されている!!

次世代超電導磁石 32T



超伝導の応用:送電線

◆ 住友電工 のwebpageより



環境にやさしい

経済性

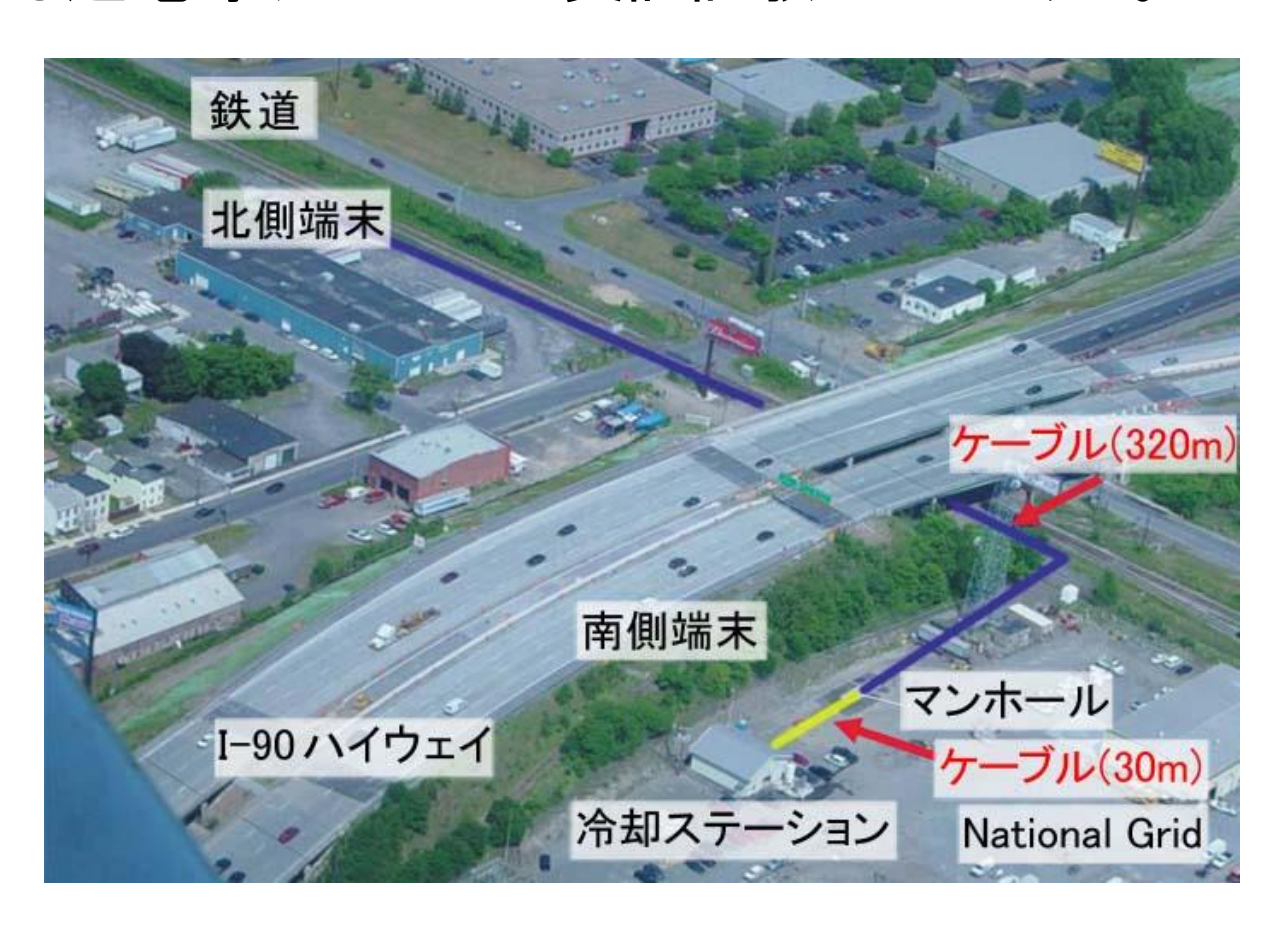
省スペース

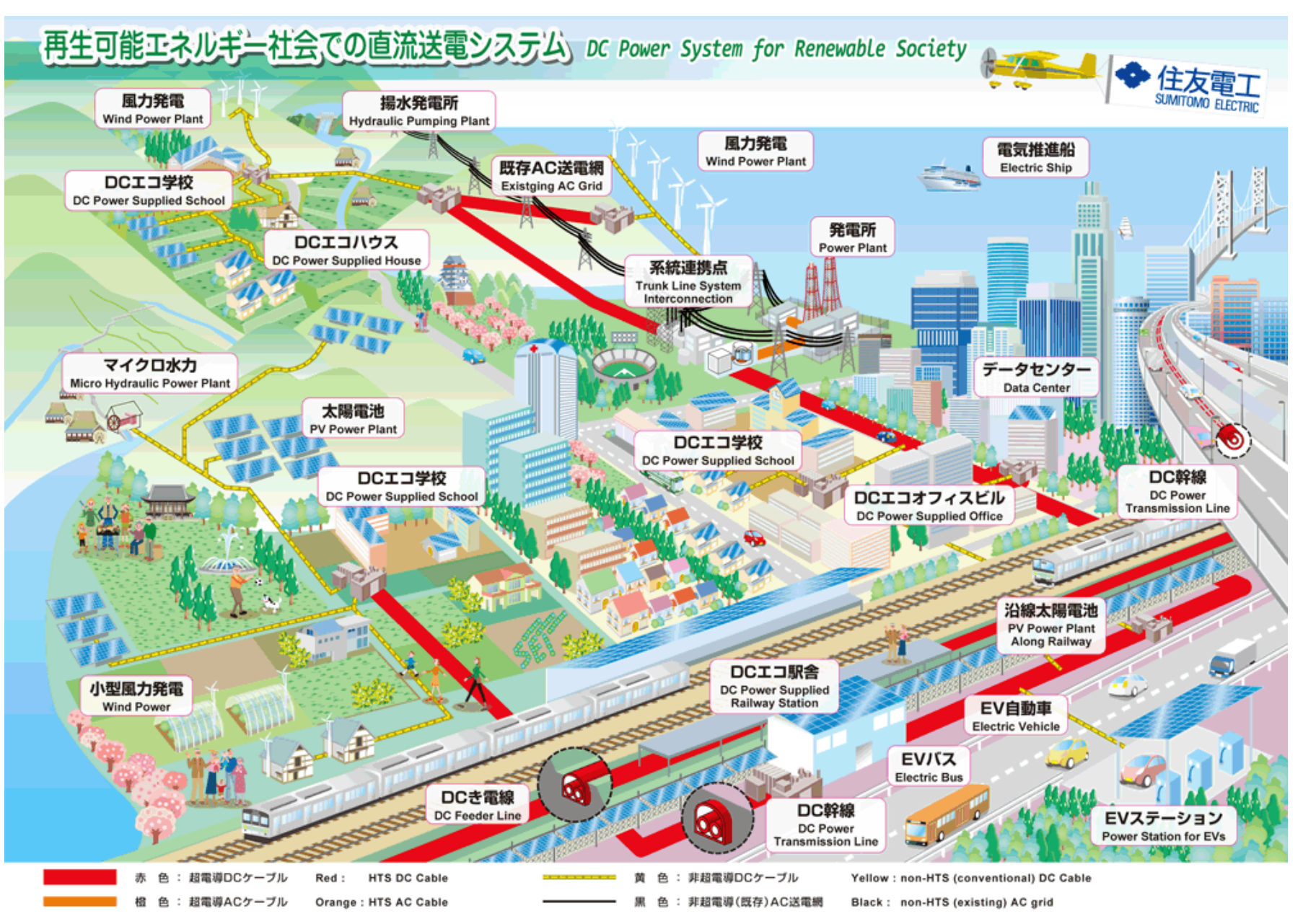
(注)安定化材:事故時の電流分担

超伝導の応用:送電線

◆ 住友電工 のwebpageより

Albany プロジェクト: 2005年からNY州のAlbany市で実施する超電導ケーブルの実証試験プロジェクト。







超電導の応用:超電導電力貯蔵システム「SMES」

電気エネルギーを磁気エネルギーに変換することで、エネルギーロスを発生させずに「貯蔵」できる。特性として大電流を瞬時に出力できるため、 「瞬停」のときに役立つ

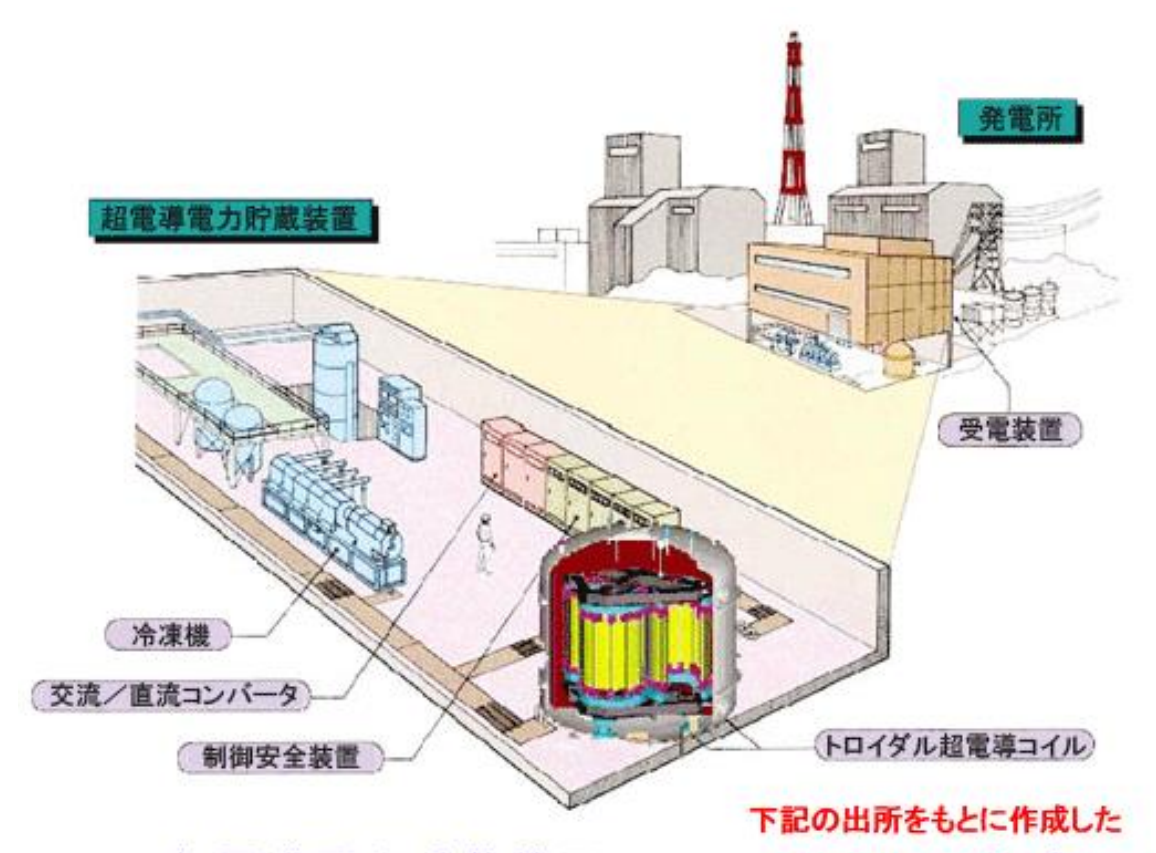


図2 超電導電力貯蔵装置(SMES)システムの概念図

[出所](独)新エネルギー・産業技術総合開発機構: 超電導電力ネットワーク制御技術開発、 http://www.nedo.go.jp/activities/portal/gaiyou/p04017.html

シャープ亀山工場に導入されたSMES

10MWの電力を貯蔵

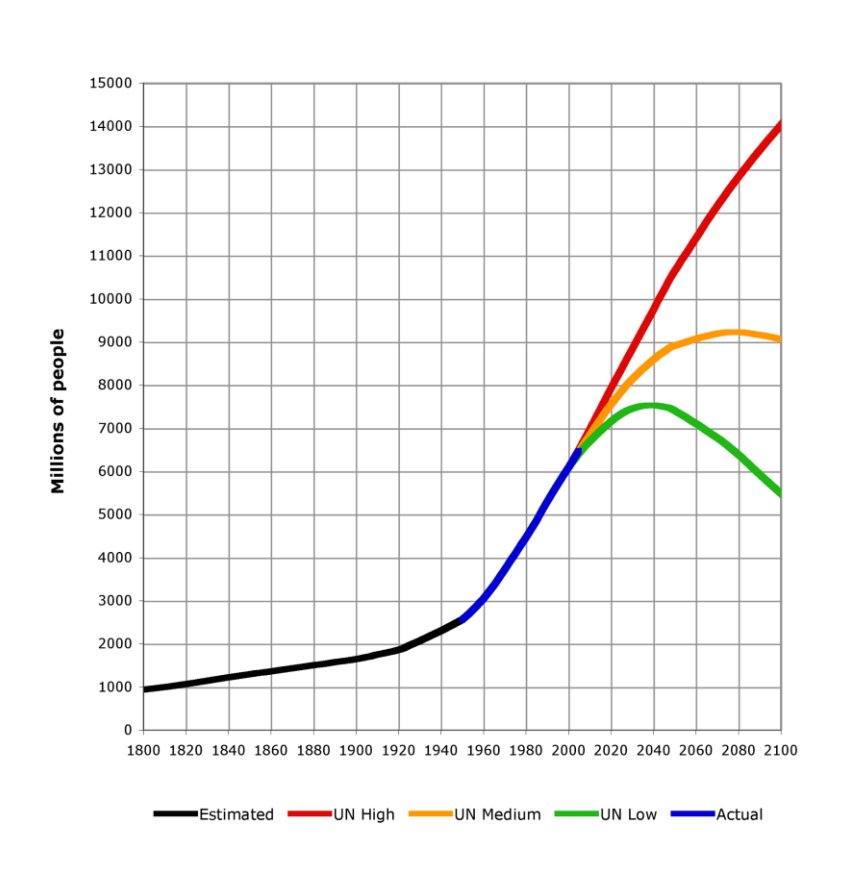
帯雷などによる瞬時の電圧低下時に活躍
世界最大(注4)の超電導電力貯蔵装置



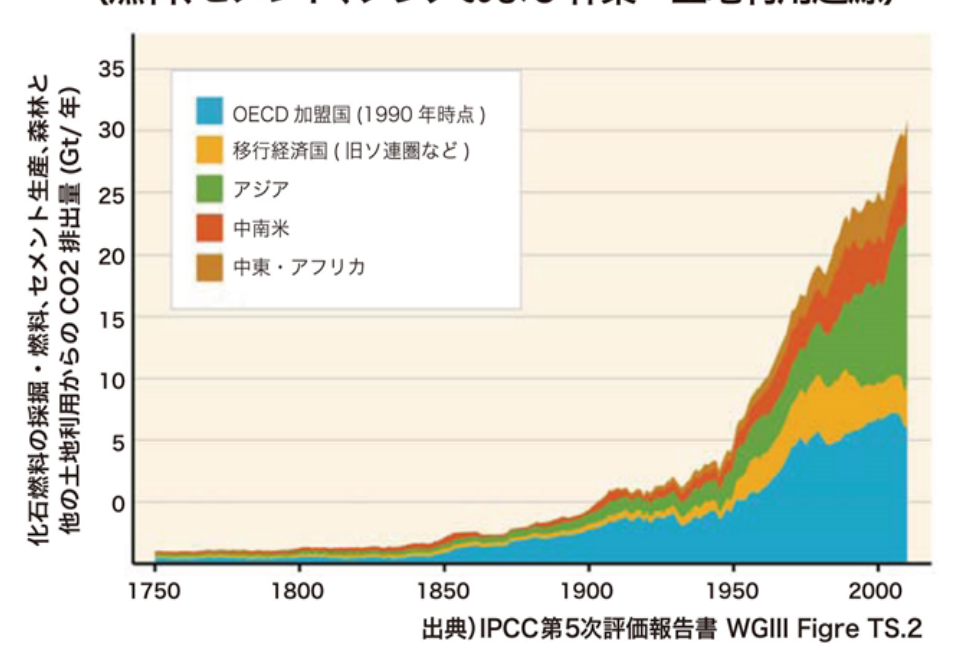
(注4)2006年9月19日現在、当社調べ

世界の環境問題

世界の人口

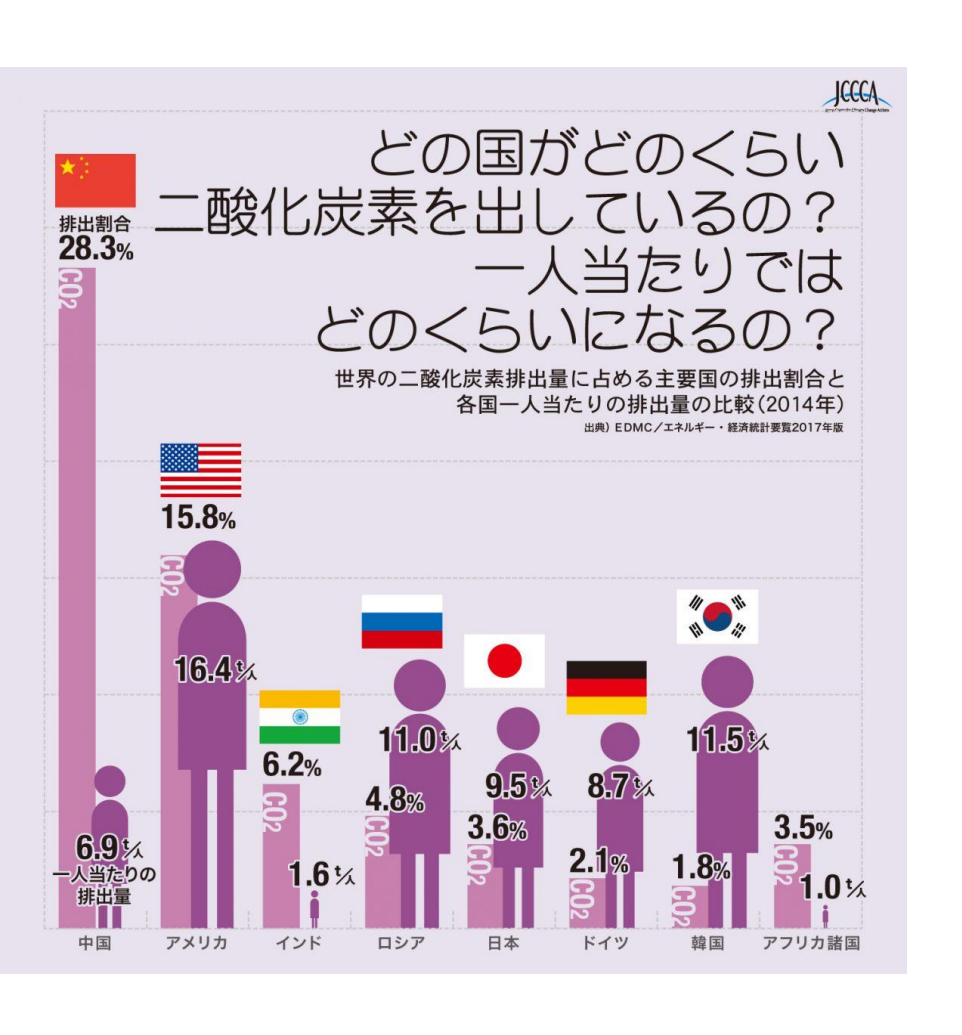


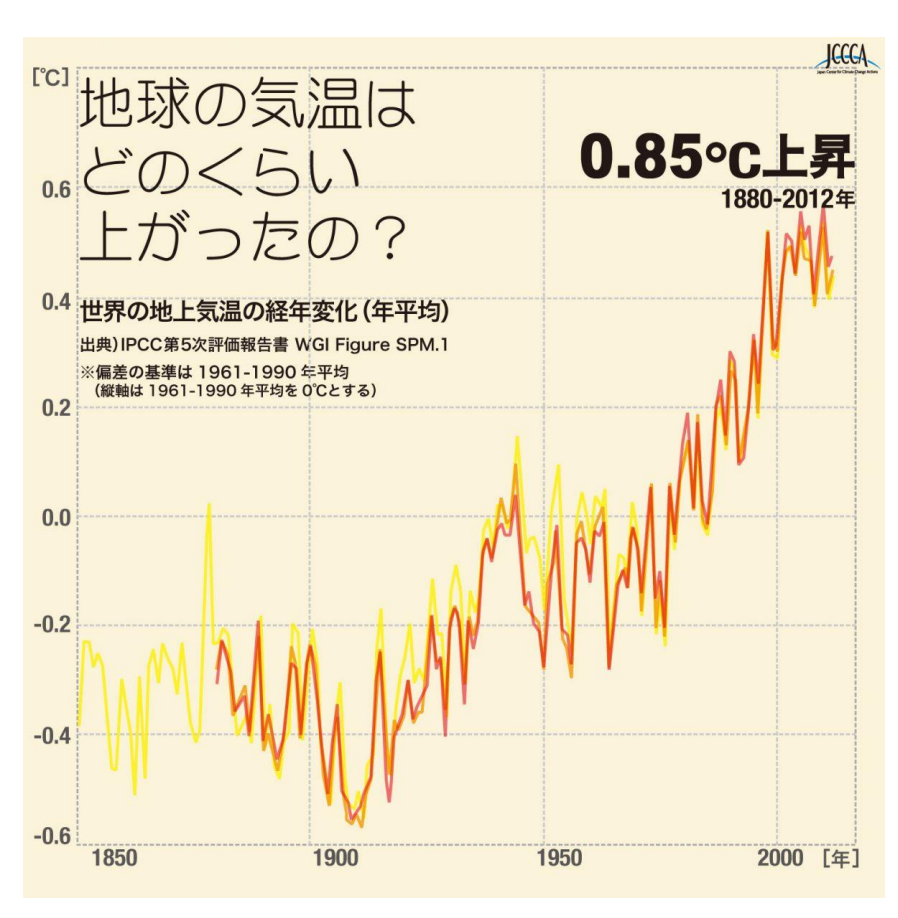
世界の CO2排出量 (燃料、セメント、フレアおよび林業・土地利用起源)



World population from 1800 to 2100, based on UN 2004 projections and US Census Bureau historical estimates

世界のCO2の排出量と気温変化





低温科学A レポート問題 (石田&北川 担当分)

- 【1】次のテーマの中から1つ選び、図等も使いA4用紙2枚程度で説明しなさい。 選んだテーマについて広く網羅する必要はなく、何かひとつの側面を選んで 詳しく記述を行ってもよろしい。
 - 1. フェルミ粒子とボーズ粒子 2. エントロピーと温度 3. 金属中の電子
 - 4. ボース・アインシュタイン凝縮 5. 超伝導の発現機構
 - 6. 超伝導の応用 7. その他超伝導に関係する内容

(注) レポート作成に際し、参考書やインターネット等の情報を参考にしても良いが、 それらの情報を自分なりに理解し、最後は自分の言葉で書くこと。また参考文献も 表記すること

(レポートは、上記の内容を知らない、友達に説明するつもりで書いてください。)

【2】上記に加え講義、低温デモ実験に対する感想を書いてください。 改善を要する点についても書いてください。

提出時 : 2018年5月21日 (月) の16:30まで、理学部6号館教務窓口まで

質問先 : kishida@scphys.kyoto-u.ac.jp